
**NOTES SUR LA DROITE PROJECTIVE
DE BERKOVICH**

par

Juan Rivera-Letelier[†]

Table des matières

1. Introduction.....	1
2. Préliminaires.....	5
3. Compactification des recouvrements finis.....	8
4. Compactification de la droite projective.....	15
5. Géométrie de \mathbb{P}_K^1	22
6. L'arbre associé à un espace ultramétrique.....	26
7. L'arbre associé à un corps ultramétrique.....	35
8. Topologie fine de \mathbb{P}_K^1	40
Références.....	45

1. Introduction

1.1. Espaces de Berkovich. — Vers la fin des années 1980, V.G. Berkovich a introduit des espaces analytiques non archimédiens [**Ber1**, **Ber2**], dont la topologie est plus agréable que les espaces analytiques rigides introduits précédemment par J. Tate [**Ta**]. Contrairement aux espaces analytiques rigides, les espaces de Berkovich sont connexes par arcs, localement compacts et localement contractibles. Ils ont déjà trouvé des applications en géométrie

[†] Partiellement soutenu par les projets Fondecyt # 1040683, MeceSup UCN-0202, South American Network on Dynamical Systems (PROSUL), Nucleo Milenio P01-005 et MeceSup PUC-UCH-0103.

algébrique, physique mathématique et en systèmes dynamiques. On pourra consulter [D] pour plus de précisions et de références.

L'objectif de ces notes est de donner une description élémentaire de l'un des espaces de Berkovich le plus simple : celui associé à la droite projective, où le corps ultramétrique de base sera supposé complet et algébriquement clos. Cet espace, qu'on appellera par la suite *droite projective de Berkovich*, possède une structure d'arbre, où chaque sommet possède un nombre infini de branches et où l'ensemble de sommets est dense.

En dehors de son intérêt intrinsèque, la droite projective de Berkovich est intéressante car ses parties ouvertes sont des domaines naturels des fonctions « analytiques ». Les bonnes propriétés topologiques de cet espace font que la théorie des fonctions analytiques qui en résulte est très naturelle et proche de la théorie complexe, voir [BR1, Ben1, Ben2, C, CR, R-L4, R-L5]. La droite projective de Berkovich permet aussi d'avoir une théorie du potentiel tout à fait analogue à la théorie complexe usuelle. Mentionnons ici [BR1, FJ], et notamment [Th] pour un développement achevé dans le cadre plus général des courbes lisses.

Les espaces de Berkovich sont aussi des espaces naturels pour étudier des systèmes dynamiques d'origine algébrique. Leur topologie localement compacte garantit des bonnes propriétés de la théorie de la mesure, pour étudier des propriétés ergodiques [BR2, CL, FR1, FR2]. Dans le cas particulier de la droite projective, on a une théorie des ensembles Julia et Fatou plus naturelle et plus proche de la théorie classique complexe [R-L6], que son analogue sur la droite projective usuelle [Bez, Hs, R-L1].

1.2. Sur ces notes. — On décrit ici la droite projective de deux façons, distinctes de la définition originale de Berkovich. La définition de Berkovich est basée sur des semi-normes multiplicatives d'algèbres de Banach ultramétriques, alors que les descriptions qu'on fait ici sont de nature plus géométriques.

Premièrement on décrit la droite projective comme la complétion de la droite projective usuelle par rapport à une certaine structure uniforme. Cette structure uniforme est différente de la structure uniforme induite par la distance chordale, mais elle induit la même topologie sur la droite projective usuelle. Il est très facile de voir que l'espace qui en résulte est compact. Cette structure uniforme est très utile, car elle est définie même dans le cas où la droite projective de Berkovich n'est pas métrisable. On décrit cette construction dans un contexte plus général en § 3. En § 4 on applique cette construction

au cas de la droite projective et on relie l'espace qui en résulte avec la droite projective de Berkovich. En § 5 on étudie quelques propriétés géométriques de cet espace.

Deuxièmement on obtient la droite projective de Berkovich, muni de la « topologie fine », par un procédé général et bien connu, qui à chaque espace ultramétrique associe un arbre. La droite projective de Berkovich c'est l'arbre que l'on obtient par ce procédé, lorsque l'espace ultramétrique est égal à la droite projective usuelle muni de la distance chordale. La partie « non singulière » de l'espace de Berkovich s'identifie ainsi avec « l'espace des boules ». En § 6 on rappelle ce procédé général et en § 7 on l'applique au cas particulier d'un corps ultramétrique.

Finalement en § 8 on fait le lien entre les deux constructions.

1.3. Remarques et références. — On pourra consulter [Ber3, D, FvdP, L-S] pour une introduction aux espaces de Berkovich en général, et [BR1] pour le cas particulier de la droite projective étudiée ici. Une théorie proche de celle de Berkovich a été développée par R. Huber dans [Hub]. Plusieurs éléments de la théorie de Berkovich ont été étudiés avant les travaux de Berkovich. Notamment, M. van der Put a introduit dans [vdP] des « points géométriques » d'un espace analytique rigide, appelés « filtres premiers ». Il a été montré après [PS] que ces points sont étroitement reliés à l'espace de Berkovich correspondant, voir aussi [FvdP]. Les espaces de Berkovich sont modélés par les espaces de semi-normes multiplicatives d'algèbres de Banach ultramétriques. Ces derniers espaces ont été étudiés notamment par B. Guennebaud, G. Garandel et A. Escassut. Voir par exemple [Es1, Ga, Gu], et les livres plus récents [Es2, Es3].

L'approche aux espaces de Berkovich par les structures uniformes est apparemment nouvelle. Cependant ces éléments sont déjà dans la littérature depuis longtemps : les filtres de Cauchy minimaux (les points de la droite projective de Berkovich par cet approche, voir Proposition 4.2) sont exactement les « filtres circulaires » introduits par Garandel dans [Ga] pour caractériser certaines semi-normes multiplicatives, voir aussi [Es2, Es3]. Ils sont aussi proches des « filtres premiers », mentionnés plus haut.

Différents aspects topologiques et géométriques de (parties de) la droite projective de Berkovich sont étudiés dans [BHM, M1, M2, R-L2, R-L5], voir aussi le livre [Es3].

Comme il a été remarqué par Berkovich dans [Ber1, § 5], dans certaines cas ces espaces sont étroitement reliés aux immeubles de Bruhat-Tits, voir aussi [W]. En particulier la droite projective de Berkovich est très reliée à

l'immeuble de Bruhat-Tits associé au groupe SL_2 du corps de base, voir par exemple [R-L2, §§ 7.2, 7.3]. Notons finalement l'« arbre de valuation » étudié dans [FJ] est assez relié à la droite projective de Berkovich.

1.4. Remerciements. — Je remercie M. Baker et R. Rumely pour leur intérêt et leur commentaires lors d'un minicours que j'ai donné à l'Université de Georgia en Avril 2005, lesquels ont été très utiles pour améliorer l'exposition de ce travail. Je remercie aussi M. Baker, R. Benedetto et C. Favre qui ont fait des nombreuses corrections concernant une version préliminaire de ces notes. Merci aussi à J. Kiwi pour son intérêt et pour ces nombreux apports lors des discussions qu'on a eu à ce sujet.

Ces notes ont été écrites au cours des séjours de l'auteur à l'Instituto de Matemática Pura e Aplicada (Rio de Janeiro, Brazil), Institute of Mathematics of the Polish Academy of Sciences (Warsaw, Poland), Institut de Mathématiques de Jussieu (Paris, France), Centro de Modelamiento Matemático et P. Universidad Católica (Santiago, Chile). Je tiens à remercier toutes ces institutions pour leur accueil chaleureux.

2. Préliminaires

Soit K un corps muni d'une norme ultramétrique $|\cdot|$ pour laquelle K est complet. Alors l'ensemble

$$|K^*| := \{|z| \mid z \in K\},$$

est un sous-groupe multiplicatif de \mathbb{R} qu'on appelle *groupe des valeurs* de K . On désigne par $\mathcal{O}_K := \{z \in K \mid |z| \leq 1\}$ l'anneau des entiers de K et par $\mathfrak{m}_K := \{z \in K \mid |z| < 1\}$ l'idéal maximal de \mathcal{O}_K . On notera $\tilde{K} := \mathcal{O}_K/\mathfrak{m}_K$ le corps résiduel de K .

2.1. La droite projective. — On note par \mathbb{P}_K^1 la droite projective de K , qui est l'ensemble des droites dans $K \times K$ passant par $(0,0)$. Pour $(x,y) \in K \times K \setminus \{(0,0)\}$, on désigne par $[x : y] \in \mathbb{P}_K^1$ le point correspondant à la droite $\{(\lambda x, \lambda y) \mid \lambda \in K\}$. On désigne par ∞ le point $[1 : 0] \in \mathbb{P}_K^1$, et on identifie K à $\mathbb{P}_K^1 \setminus \{\infty\}$ par l'application $x \mapsto [x : 1]$.

On étend la projection de \mathcal{O}_K vers \tilde{K} en une projection de \mathbb{P}_K^1 vers $\mathbb{P}_{\tilde{K}}^1$, de telle façon que l'ensemble $\mathbb{P}_K^1 \setminus \mathcal{O}_K$ se projette dans $\infty \in \mathbb{P}_{\tilde{K}}^1$. Les fibres de cette projection seront appelés *classes résiduelles*.

La fonction $\Delta : \mathbb{P}_K^1 \times \mathbb{P}_K^1 \rightarrow [0, 1]$ définie par

$$\Delta([x : y], [x' : y']) = \frac{|xy' - yx'|}{\max\{|x|, |y|\} \cdot \max\{|x'|, |y'|\}},$$

définit une distance sur \mathbb{P}_K^1 qu'on appelle *distance chordale*. Notons que pour $z, z' \in K \subset \mathbb{P}_K^1$ on a

$$\Delta(z, z') = \frac{|z - z'|}{\max\{1, |z|\} \cdot \max\{1, |z'|\}}.$$

2.2. Boules. — Lorsque B est un sous-ensemble de K on pose $\text{diam}(B) = \sup_{z, z' \in B} \{|z - z'|\}$.

Etant donnés $r \in |K^*|$ et $a \in K$, on appelle les ensembles

$$\{z \in K \mid |z - a| < r\} \text{ et } \{z \in K \mid |z - a| \leq r\}$$

boule ouverte de K et *boule fermée de K* , respectivement. Lorsque $r \notin |K^*|$, ces deux ensembles coïncident et constituent ce qu'on appelle une *boule irrationnelle de K* . Notons que par définition une boule B de K est irrationnelle si et seulement si $\text{diam}(B) \notin |K^*|$; en particulier, *si B est ouverte ou fermée, alors $\text{diam}(B) \in |K^*|$* . Si deux boules de K s'intersectent, alors l'une est contenue dans l'autre.

Une *boule ouverte* (resp. *fermée, irrationnelle*) de \mathbb{P}_K^1 est soit une boule de K de même nature, soit le complémentaire d'une boule fermée (resp. ouverte, resp. irrationnelle) de K . Dans ce qui suit le mot *boule* désignera une boule de \mathbb{P}_K^1 .

2.3. Affinoïdes. — Un *affinoïde fermé* (resp. *ouvert*) est une intersection finie de boules fermées (resp. ouvertes). L'ensemble \mathbb{P}_K^1 est un affinoïde fermé (resp. ouvert), car il l'est une intersection vide de boules fermées (resp. ouvertes). Une intersection finie non vide d'affinoïdes fermés (resp. ouverts) est un affinoïde fermé (resp. ouvert). La réunion de deux affinoïdes fermés (resp. ouverts) dont l'intersection est non vide est un affinoïde fermé (resp. ouvert).

Remarque 2.1. — La terminologie qu'on utilise ici est distincte à celle de la géométrie rigide. En géométrie rigide un « affinoïde » est ce qu'on appelle ici une réunion finie d'affinoïdes fermés, et un « affinoïde connexe » correspond à un affinoïde fermé.

Proposition 2.2. — Soit n un entier positif et pour chaque $j = 1, \dots, n$ soit X_j un affinoïde ouvert. Pour chaque $x \in X = X_1 \cup \dots \cup X_n$ l'union Y de tous les affinoïdes ouverts contenant x et contenus dans X est un affinoïde ouvert. On appelle Y la composante de X contenant x . Les composantes de X sont disjointes deux à deux et il n'y a qu'un nombre fini d'eux.

Démonstration. — Soit $J \subset \{1, \dots, n\}$ l'ensemble des j tel qu'il existe un affinoïde ouvert contenu dans X , contenant x et qui rencontre X_j . Posons $Y = \bigcup_{j \in J} X_j$ et soit Z un affinoïde ouvert contenant x et contenu dans X . Chaque point de $Z \subset X$ est contenu dans l'un des X_j où $j \in J$ par définition de J , d'où $Z \subset Y$.

D'autre part, pour chaque $j \in J$ il existe un affinoïde ouvert Z_j contenu dans X , qui contient x et qui rencontre X_j . Par conséquent $Z_j \cup X_j$ est un affinoïde ouvert ayant les mêmes propriétés, d'où $Y \subset \bigcup_{j \in J} (Z_j \cup X_j) \subset Y$. Par conséquent l'affinoïde ouvert Y est égal à l'union de tous les affinoïdes ouverts contenus dans X et contenant x .

Si la composante Y' de X contenant un point $x' \in X$ rencontre x , alors $Y \cup Y'$ est un affinoïde ouvert contenu dans X et contenant x et x' , d'où $Y = Y'$. Finalement, comme chaque composante de X est de la forme $\bigcup_{j \in J} X_j$, on conclut que X ne possède qu'un nombre fini de composantes. \square

Le corollaire suivant est immédiat.

Corollaire 2.3. — *Soit X une union finie d'affinoïdes ouverts et soit Y un affinoïde ouvert contenu dans X . Alors Y est contenu dans l'une des composantes de X .*

3. Compactification des recouvrements finis

Après quelques rappels sur les filtres (§ 3.1) et sur les structures uniformes (§ 3.2), on décrit un procédé qui à chaque base convenable d'un espace topologique associe une structure uniforme compatible avec la topologie originale (§§ 3.3, 3.4). Après on décrit le séparée complète de cet espace uniforme (§ 3.5) et on étudie quelques propriétés topologiques de cet espace (§ 3.6).

3.1. Rappel sur les filtres. — Un *filtre* sur un ensemble X est une collection \mathfrak{F} de parties de X satisfaisant les propriétés suivantes.

1. Toute partie de X contenant un élément de \mathfrak{F} appartient à \mathfrak{F} .
2. Toute intersection finie d'éléments de \mathfrak{F} appartient à \mathfrak{F} .
3. L'ensemble vide \emptyset n'appartient pas à \mathfrak{F} .

Notons que les propriétés 2 et 3 impliquent que toute intersection finie d'éléments de \mathfrak{F} est non vide. Une collection \mathfrak{B} de parties de X est une *base de filtre*, si $\emptyset \notin \mathfrak{B}$ et si toute intersection finie d'éléments de \mathfrak{B} contient l'un des éléments de \mathfrak{B} . Lorsque \mathfrak{B} est une base d'un filtre, la collection

$$\{Y \in X \mid \text{il existe } B \in \mathfrak{B} \text{ tel que } B \subset Y\}$$

est un filtre sur X qu'on appelle *le filtre sur X engendré par \mathfrak{B}* .

Etant donnés deux filtres \mathfrak{F} et \mathfrak{F}' sur un ensemble X , on dit que \mathfrak{F} est *plus fin* que \mathfrak{F}' , si $\mathfrak{F}' \subset \mathfrak{F}$. Un *ultrafiltre* sur un ensemble X est un filtre tel qu'il n'existe aucun filtre strictement plus fin que lui. Il est facile de voir qu'un filtre \mathfrak{F} est un ultrafiltre si et seulement si pour chaque sous-ensemble Y de X on a $Y \in \mathfrak{F}$ ou $X \setminus Y \in \mathfrak{F}$. Pour tout filtre \mathfrak{F} sur un ensemble X il existe un ultrafiltre moins fin que \mathfrak{F} [**Bou**, I, §6, Théorème 1]. Il est facile de voir que si \mathfrak{F} est un ultrafiltre sur un ensemble X et si $(Y_i)_{i=1, \dots, n}$ est un recouvrement fini de X , alors l'un au moins des Y_i appartient à \mathfrak{F} , voir [**Bou**, I, § 6, corollaire de la Proposition 5].

Lorsque X est muni d'une topologie, on dit qu'un filtre \mathfrak{F} sur X *converge vers un point x* de X , s'il contient tout voisinage de x . Dans ce cas on dit que x est *le point limite de \mathfrak{F}* .

Proposition 3.1. — *Un espace topologique séparé X est compact si et seulement si tout ultrafiltre sur X est convergent.*

Démonstration. — Supposons d'abord qu'il existe un ultrafiltre \mathfrak{F} sur X qui n'est pas convergent. Alors la collection $\{X \setminus \overline{Y} \mid Y \in \mathfrak{F}\}$ est un recouvrement ouvert de X ne possédant aucun sous-recouvrement fini.

Supposons d'autre part que tout ultrafiltre sur X soit convergent et supposons par l'absurde qu'il existe un recouvrement ouvert \mathfrak{G} de X ne possédant aucun sous-recouvrement fini. Alors la collection $\{X \setminus O \mid O \in \mathfrak{G}\}$ forme une base d'un filtre \mathfrak{F} sur X . Si \mathfrak{F}' est un ultrafiltre sur X moins fin que \mathfrak{F} , alors \mathfrak{F}' est convergent par hypothèse. Mais le point limite de \mathfrak{F}' appartient à tous les éléments de \mathfrak{F} , ce qui contredit le fait que \mathfrak{G} est un recouvrement de X . \square

3.2. Rappel sur les espaces uniformes. — On note par $\Delta_X := \{(x, x) \in X \times X \mid x \in X\}$ la diagonale dans $X \times X$ et pour deux parties V et V' de $X \times X$ on pose

$$V^{-1} := \{(x, x') \in X \times X \mid (x', x) \in V\},$$

$$V \circ V' := \{(x, x') \in X \times X \mid \text{il existe } y \in X \text{ tel que } (x, y) \in V \text{ et } (y, x') \in V'\}.$$

Une *structure uniforme* sur un ensemble X est la donnée d'une collection \mathfrak{U} de parties de $X \times X$ satisfaisant les propriétés 1 et 2 des filtres, et les propriétés suivantes.

1. Tout élément de \mathfrak{U} contient la diagonale Δ_X .
2. Pour chaque $V \in \mathfrak{U}$ on a $V^{-1} \in \mathfrak{U}$.
3. Pour tout $V \in \mathfrak{U}$ il existe $W \in \mathfrak{U}$ tel que $W \circ W \subset V$.

Les éléments de \mathfrak{U} sont appelés *entourages*. Notons que par la propriété 1, la collection \mathfrak{U} est un filtre sur $X \times X$. On dira qu'une base de filtre \mathfrak{B} sur $X \times X$ est une *base de structure uniforme*, si tout élément de \mathfrak{B} contient Δ_X , et si pour tout $V \in \mathfrak{B}$ il existe $V' \in \mathfrak{B}$ tel que $V' \subset V^{-1}$, et $W \in \mathfrak{B}$ tel que $W \circ W \subset V$. Le filtre engendré par une base de structure uniforme \mathfrak{B} est une structure uniforme, qu'on appelle *la structure uniforme engendrée par \mathfrak{B}* .

Une structure uniforme sur un ensemble X induit une topologie sur X , caractérisée par le fait que les voisinages d'un point $x \in X$ sont les ensembles de la forme,

$$(1) \quad V(x) := \{x' \in X \mid (x, x') \in V\},$$

où V parcourt les entourages de X , voir [Bou, II, § 1, Proposition 1]. Les ouverts de X sont les ensembles qui sont un voisinage de chacun de ses éléments. Lorsque la topologie induite est séparée, elle est régulière, voir [Bou, II, § 1, Proposition 3].

Une distance dist sur X induit une structure uniforme sur X , engendrée par la base de structure uniforme constituée des ensembles

$$\{(x, x') \in X \times X \mid \text{dist}(x, x') < r\},$$

lorsque r parcourt les nombres réels positifs. La topologie sur X induite par cette structure uniforme coïncide avec celle induite par la distance dist .

Pour les espaces uniformes il y a une notion de complétion qui généralise celle des espaces métriques. Elle est définie comme suit. Lorsque X est un espace uniforme et V est un entourage de X , on dira qu'une partie Y de X est *V-petite*, si $Y \times Y \subset V$. De plus, on dira qu'un filtre est *de Cauchy*, si pour tout entourage V de X il contient un élément V -petit, et on dira que l'espace uniforme (X, \mathfrak{U}) est *complet* si tout filtre de Cauchy est convergent. Pour définir le *séparé complété* \widehat{X} d'un espace uniforme X , notons d'abord que pour tout filtre Cauchy il existe un unique filtre de Cauchy moins fin, et qui est minimal avec cette propriété [Bou, II, § 3, Proposition 5]. Alors \widehat{X} est défini comme l'ensemble de tous les filtres de Cauchy minimaux, muni de la structure uniforme de toutes les parties de $\widehat{X} \times \widehat{X}$ contenant un ensemble de la forme

$$(2) \quad \widehat{V} := \{(\mathfrak{F}, \mathfrak{F}') \in X \times X \mid \\ \mathfrak{F} \text{ et } \mathfrak{F}' \text{ contiennent un ensemble } V\text{-petit commun}\},$$

où V est un entourage de X . Cet espace est complet et séparé, et par conséquent régulier. Lorsque l'espace uniforme X est lui-même séparé, il s'identifie au sous-espace partout dense de \widehat{X} des filtres convergents; chaque point de X s'identifie à l'unique filtre minimal moins fin que le filtre des voisinages de ce point.

3.3. Structure uniforme des recouvrements finis. — Soit X un espace topologique et soit \mathfrak{B} une collection de parties ouvertes de X . On note par \mathfrak{C} la collection de tous les recouvrements finis de X par éléments de \mathfrak{B} . Par la suite on supposera que \mathfrak{B} satisfait les propriétés suivantes.

(B_I) Toute intersection finie non vide d'éléments de \mathfrak{B} appartient à \mathfrak{B} .

(B_{II}) Pour tout recouvrement C de X dans \mathfrak{C} il existe un recouvrement C' dans \mathfrak{C} , satisfaisant la propriété suivante. Pour chaque point x de X la réunion de tous les éléments de C' contenant x est contenue dans l'un des éléments de C .

Pour un recouvrement C dans \mathfrak{C} on pose,

$$(3) \quad V(C) := \bigcup_{Y \in C} Y \times Y .$$

Proposition 3.2. — *La collection \mathfrak{U} définie par,*

$$\mathfrak{U} = \{V \subset X \times X \mid \text{il existe } C \in \mathfrak{C} \text{ tel que } V(C) \subset V\},$$

définit une structure uniforme sur X .

Démonstration. — Montrons d'abord que \mathfrak{U} est invariante par l'intersection finie. Etant donnés des recouvrements C_1, \dots, C_n dans \mathfrak{C} , la propriété (B_I) implique que le recouvrement fini de X défini par

$$C := \{Y_1 \cap \dots \cap Y_n \neq \emptyset \mid Y_j \in C_j, j = 1, \dots, n\} ,$$

appartient à \mathfrak{C} . Il est facile de voir qu'on a $V(C) \subset V(C_1) \cap \dots \cap V(C_n)$ et par conséquent ce dernier ensemble appartient à \mathfrak{U} .

D'autre part, notons que tout élément de \mathfrak{U} contient la diagonale et comme pour chaque $C \in \mathfrak{C}$ l'ensemble $V(C)$ est invariant par l'involution $(x, x') \mapsto (x', x)$, pour tout $V \in \mathfrak{U}$ on a $V^{-1} \in \mathfrak{U}$. Pour vérifier que \mathfrak{U} est une structure uniforme, il reste à montrer que pour tout $V \in \mathfrak{U}$ il existe $W \in \mathfrak{U}$ tel que $W \circ W \subset V$. Etant donné $V \in \mathfrak{U}$, soit $C \in \mathfrak{C}$ tel que $V(C) \subset V$ et soit C' le recouvrement dans \mathfrak{C} donné par la propriété (B_{II}) . Etant donnés $x, y, z \in \mathbb{P}_K^1$ tels que $(x, y), (y, z) \in V(C')$, soient $\tilde{Y}, \tilde{Y}' \in C'$ tels que $x, y \in \tilde{Y}$ et $y, z \in \tilde{Y}'$. Si $Y \in C$ contient \tilde{Y} et \tilde{Y}' , alors on a $(x, z) \in Y \times Y \subset V(C)$. \square

3.4. Topologie déduite. — Notons que pour $C \in \mathfrak{C}$ et $x \in X$, l'ensemble $V(C)(x)$ définit au (1) pour l'entourage $V := V(C)$, est égal à la réunion des éléments de C contenant x .

Notons pour référence que lorsque \mathfrak{B} est dénombrable, \mathfrak{C} est dénombrable et donc la topologie sur X définie par la structure uniforme \mathfrak{U} est métrisable [Bou, IX, § 4, Théorème 1].

Proposition 3.3. — *La topologie sur X déduite de la structure uniforme sur X définie par \mathfrak{U} , est moins fine que la topologie originale de X . Ces topologies coïncident, si et seulement si \mathfrak{B} satisfait la propriété suivante.*

(B_{III}) Pour chaque $x \in X$ et chaque voisinage Y de x pour la topologie originale de X , il existe un recouvrement C dans \mathfrak{C} tel que la réunion des éléments de C contenant x est contenue dans Y .

Démonstration. — Pour montrer la première assertion, notons que pour un recouvrement C dans \mathfrak{C} et pour $x \in X$, l'ensemble $V(C)(x) = \bigcup_{Y \in C, x \in Y} Y$ est une partie ouverte de X .

Supposons maintenant \mathfrak{B} satisfait la propriété (B_{III}) et soient $x \in X$ et Y un voisinage de x pour la topologie originale. Il existe alors un recouvrement C dans \mathfrak{C} tel que la réunion des éléments dans C contenant x soit contenue dans Y . C'est à dire qu'on a $V(C)(x) \subset Y$ et par conséquent Y est aussi un voisinage de x pour la topologie déduite de la structure uniforme.

Supposons d'autre part que la topologie déduite de la structure uniforme coïncide avec la topologie originale. Etant donné $x \in X$ et un voisinage Y de x , soit V un entourage de X tel qu'on ait $V(x) = Y$. Soit de plus C un recouvrement dans \mathfrak{C} tel que $V(C) \subset V$. Alors la réunion $V(C)(x)$ des éléments de C contenant x est contenue dans $V(x) = Y$. \square

3.5. Complétion. — Soit X un espace topologique muni de la structure uniforme définie à partir d'une collection de parties ouvertes satisfaisant les propriétés (B_I) et (B_{II}) .

On considère d'abord le lemme suivant.

Lemme 3.4. — *Pour qu'un filtre soit de Cauchy il faut et il suffit qu'il contienne au moins un élément de chaque recouvrement dans \mathfrak{C} .*

Démonstration. — Pour voir que la condition est suffisante, notons simplement que si V est un entourage et si C est un recouvrement dans \mathfrak{C} tel que $V(C) \subset V$, alors tout élément de C est V -petit.

Pour montrer que la condition est nécessaire, soit \mathfrak{F} un filtre de Cauchy et soit C un recouvrement dans \mathfrak{C} . Soit $C' \in \mathfrak{C}$ le recouvrement donné par la propriété (B_{II}) . Comme \mathfrak{F} est un filtre de Cauchy, il existe un ensemble $Y_0 \in \mathfrak{F}$ tel que $Y_0 \times Y_0 \subset V(C')$. Si l'on fixe $y_0 \in Y_0$, alors la réunion Y de tous les éléments de C' contenant y_0 , contient Y_0 . Mais Y est contenu dans un certain élément de C . Cet élément de C appartient donc à \mathfrak{F} . \square

On désigne par \widehat{X} le séparé complété de X . Etant donnée une partie Y de X on pose

$$\widehat{Y} := \{\mathfrak{F} \in \widehat{X} \mid Y \in \mathfrak{F}\}.$$

Le Lemme 3.4 implique que pour chaque recouvrement $C \in \mathfrak{C}$, la collection $\widehat{C} := \{\widehat{Y} \mid Y \in C\}$ est un recouvrement de \widehat{X} . Notons d'autre part que

l'entourage \widehat{V} de \widehat{X} , défini en (2) lorsque $V := V(C)$, est égal à

$$\widehat{V}(C) := \bigcup_{Y \in C} \widehat{Y} \times \widehat{Y} .$$

Comme les ensembles $V(C)$, lorsque C parcourt \mathfrak{C} , constituent une base de la structure uniforme de X , on conclut que les ensembles $\widehat{V}(C)$, lorsque C parcourt \mathfrak{C} , constituent une base de la structure uniforme de \widehat{X} .

3.6. Topologie du complété. — On reprend les notations du paragraphe précédent. Après avoir montré que \widehat{X} est compact (Proposition 3.5), on décrira un base de topologie de cet espace (Proposition 3.6).

Proposition 3.5. — *L'espace uniforme \widehat{X} est compact.*

Démonstration. — D'après la Proposition 3.1 il suffit de montrer que tout ultrafiltre sur \widehat{X} est convergent. Comme \widehat{X} est complet, il suffit de montrer que tout ultrafiltre sur \widehat{X} est de Cauchy. Soit alors $\widehat{\mathfrak{F}}$ un ultrafiltre sur \widehat{X} et soit \widehat{V} un entourage de \widehat{X} . Soit C un recouvrement dans \mathfrak{C} tel que $\bigcup_{Y \in C} \widehat{Y} \times \widehat{Y} \subset \widehat{V}$. Comme $\widehat{C} = \{\widehat{Y} \mid Y \in C\}$ est un recouvrement fini de \widehat{X} , l'ultrafiltre $\widehat{\mathfrak{F}}$ contient l'un des éléments de \widehat{C} , voir §3.1. Comme tous les éléments de \widehat{C} sont \widehat{V} -petits, on conclut que $\widehat{\mathfrak{F}}$ est de Cauchy. \square

Soit Y une partie quelconque de X . Alors il est facile de voir que la fermeture topologique \overline{Y} de Y dans \widehat{X} est égale à

$$\overline{Y} = \{\widehat{\mathfrak{F}} \in \widehat{X} \mid \text{tout élément de } \widehat{\mathfrak{F}} \text{ rencontre } Y\} .$$

Notons qu'on a $Y \subset \widehat{Y} \subset \overline{Y}$, et par conséquent la fermeture topologique de \widehat{Y} est égale à \overline{Y} . D'autre part, si Y et Y' sont des parties de X , alors il est facile de voir qu'on a

$$(4) \quad \widehat{Y \cap Y'} = \widehat{Y} \cap \widehat{Y'} \quad \text{et} \quad \widehat{Y \cup Y'} \subset \widehat{Y} \cup \widehat{Y'} .$$

En particulier, lorsque les ensembles Y et Y' sont disjoints, les ensembles \widehat{Y} et $\widehat{Y'}$ sont aussi disjoints.

Proposition 3.6. —

1. *Lorsque Y et Y' sont des parties complémentaires de X , les ensembles \widehat{Y} et $\overline{Y'}$ sont des parties complémentaires de \widehat{X} . En particulier l'ensemble \widehat{Y} est une partie ouverte de \widehat{X} .*

2. *La collection des parties ouvertes de \widehat{X} ,*

$$\mathfrak{B} := \{\widehat{Y} \mid Y \in \mathfrak{B}\} ,$$

est une base de la topologie de \widehat{X} .

Démonstration. —

1. Si $\mathfrak{F} \in \widehat{Y}$ alors Y est un élément de \mathfrak{F} disjoint de Y' et donc $\mathfrak{F} \notin \overline{Y'}$. D'autre part, $\mathfrak{F} \notin \overline{Y'}$ implique qu'il existe $Z \in \mathfrak{F}$ disjoint de Y' . On a alors $Z \subset Y$, $Y \in \mathfrak{F}$ et $\mathfrak{F} \in \widehat{Y}$.

2. Soit \mathfrak{F} un point de \widehat{X} et soit \widehat{W} un voisinage de \mathfrak{F} dans \widehat{X} . Soit \widehat{V} un entourage de \widehat{X} tel que $\widehat{W} = \widehat{V}(\mathfrak{F})$ et soit C un recouvrement dans \mathfrak{C} tel que $\widehat{V}(C) \subset \widehat{V}$. Comme $\{\widehat{Y} \mid Y \in C\}$ est un recouvrement de \widehat{X} , il existe $Y \in C$ tel que $\mathfrak{F} \in \widehat{Y}$. Alors \widehat{Y} est un élément de $\widehat{\mathfrak{B}}$ contenant \mathfrak{F} et contenu dans $\widehat{V}(C)(\mathfrak{F}) \subset \widehat{W}$. \square

4. Compactification de la droite projective

Pour toute cette section on fixe un corps K muni d'une norme ultramétrique $|\cdot|$ pour laquelle K est complet. On suppose de plus que le corps résiduel de K est infini et que le groupe de valuation de K n'est pas discret. Ces dernières conditions sont satisfaites, par exemple, lorsque K est algébriquement clos et la norme $|\cdot|$ est non triviale.

Dans cette section on appliquera la construction générale décrite en § 3, au cas où l'ensemble X est égal à \mathbb{P}_K^1 et \mathfrak{B} est égal à la collection des affinoïdes ouverts de \mathbb{P}_K^1 (§§ 4.1, 4.2). De plus, on décrira les points du séparé complété correspondant (§§ 4.3, 4.5) et on reliera cet espace à la droite projective de Berkovich (§ 4.6).

4.1. La collection des affinoïdes ouverts. — Dans ce paragraphe on montre que la collection des affinoïdes ouverts de \mathbb{P}_K^1 vérifie les propriétés (B_I) , (B_{II}) et (B_{III}) décrites en §§ 3.3, 3.4.

Rappelons d'abord que chaque affinoïde ouvert est une partie ouverte de \mathbb{P}_K^1 . Comme toute intersection finie non vide d'affinoïdes ouverts est un affinoïde ouvert, la collection des affinoïdes ouverts de \mathbb{P}_K^1 satisfait la propriété (B_I) . D'autre part, la collection des affinoïdes ouverts satisfait aussi la propriété (B_{III}) , car pour chaque point x dans \mathbb{P}_K^1 et chaque $r \in |K^*| \cap (0, 1)$, la collection

$$\{\{z \in \mathbb{P}_K^1 \mid \Delta(x, z) < r\}, \{z \in \mathbb{P}_K^1 \mid \Delta(x, z) > r/2\}\} ,$$

est un recouvrement fini de \mathbb{P}_K^1 par des affinoïdes ouverts, où le seul élément contenant x est la boule $\{z \in \mathbb{P}_K^1 \mid \Delta(x, z) < r\}$.

Le reste de ce paragraphe est dédié à vérifier que la collection des affinoïdes ouverts vérifie la propriété (B_{II}) . Pour cela, on appellera *affinoïde rationnel* toute intersection finie de boules ouvertes ou fermées de \mathbb{P}_K^1 . Notons que le complémentaire d'un affinoïde rationnel s'écrit de façon canonique comme une réunion finie disjointe de boules ouvertes ou fermées. Ces boules seront appelées *composantes du complémentaire* de l'affinoïde. Deux affinoïdes rationnels partageant une composante de son complémentaire, s'intersectent.

1. Soit C un recouvrement fini de \mathbb{P}_K^1 par des affinoïdes ouverts. On note par \mathfrak{S} la collection finie de toutes les boules B de \mathbb{P}_K^1 , tel qu'il existe un affinoïde Y dans C tel que B ou $\mathbb{P}_K^1 \setminus B$ soit l'une des composantes de $\mathbb{P}_K^1 \setminus Y$. Choisissons pour chaque boule ouverte D dans \mathfrak{S} un point $x_D \in D$. Etant donné $\eta \in |K^*| \cap (0, 1)$, on désigne par $A_D(\eta)$ la couronne $\{\eta < |z| < 1\}$ dans une coordonnée telle que $x_D = 0$ et $D = \{|z| < 1\}$. Quitte à prendre η

plus proche de 1, on suppose que $A_D(\eta)$ est contenu dans chacune des boules dans \mathfrak{S} qu'elle rencontre. De plus, on suppose que si D et D' sont des boules ouvertes distinctes dans \mathfrak{S} , alors les couronnes $A_D(\eta)$ et $A_{D'}(\eta)$ sont disjointes. Pour ce choix de η , on pose $A_D := A_D(\eta)$.

2. Etant donné un point x dans \mathbb{P}_K^1 , soit $Z(x)$ l'affinoïde rationnel intersection de tous les éléments dans \mathfrak{S} contenant x . La collection \mathfrak{P} de ces affinoïdes rationnels est un recouvrement fini de \mathbb{P}_K^1 . Elle est en effet une partition de \mathbb{P}_K^1 , car si Z et Z' sont des éléments distincts de \mathfrak{P} , alors il existe $B \in \mathfrak{S}$ tel que $Z \subset B$ et $Z' \subset \mathbb{P}_K^1 \setminus B$, d'où $Z \cap Z' = \emptyset$. Notons de plus qu'un élément de \mathfrak{P} est contenu dans chaque élément de C qu'il rencontre.

Le complémentaire dans \mathbb{P}_K^1 d'un élément de \mathfrak{P} est une réunion disjointe de boules dans \mathfrak{S} . Comme \mathfrak{P} est une partition de \mathbb{P}_K^1 , on conclut que pour chaque boule D dans \mathfrak{S} il existe un unique élément Z de \mathfrak{P} dont D est l'une des composantes de $\mathbb{P}_K^1 \setminus Z$.

3. Pour chaque Z dans \mathfrak{P} on pose,

$$Y_Z := Z \sqcup \left(\bigcup_D A_D \right),$$

où D parcourt les boules ouvertes composantes de $\mathbb{P}_K^1 \setminus Z$. Notons que Y_Z est un affinoïde ouvert. D'autre part, notons que tout affinoïde ouvert contenant Z rencontre chacune des couronnes A_D , pour D comme ci-dessus. Par conséquent, chaque affinoïde dans C qui rencontre Z contient Z et chacune des couronnes A_D . On conclut donc que chaque élément de C qui rencontre Z contient Y_Z .

4. Notons que la collection $C' := \{Y_Z \mid Z \in \mathfrak{P}\}$ est un recouvrement fini de \mathbb{P}_K^1 par des affinoïdes ouverts. Soit x un point de \mathbb{P}_K^1 quelconque. On montrera que la réunion de tous les éléments de C' contenant x est contenue dans l'un des éléments de C .

Supposons d'abord que x n'appartient à aucune des couronnes A_D . Alors pour tout élément Z de \mathfrak{P} tel que Y_Z contient x , on a $x \in Z$. Il existe donc un unique élément Z de \mathfrak{P} avec cette propriété. Comme tout élément de C qui rencontre Z contient Y_Z , l'assertion est vérifiée dans ce cas.

Supposons maintenant que x appartienne à l'une des couronnes A_D , pour une certaine boule ouverte D dans \mathfrak{S} . Soit Z l'unique élément de \mathfrak{P} dont D est l'une des composantes de son complémentaire. Alors on a $x \in A_D \subset Y_Z$. Comme par définition les couronnes A_D sont disjointes deux à deux, on conclut que pour tout élément Z' de \mathfrak{P} distinct de Z et tel que $Y_{Z'}$ contient x , on a $x \in Z'$. Par conséquent il existe un unique élément Z' de \mathfrak{P} avec cette propriété.

On conclut donc que Y_Z et $Y_{Z'}$ sont les seuls éléments de C' contenant x . Soit Y un élément de C qui rencontre Z . Alors Y contient Y_Z et donc il rencontre Z' , car $x \in Y_Z \cap Z'$. Par conséquent Y contient $Y_{Z'}$ et on a $Y_Z \cup Y_{Z'} \subset Y$.

4.2. Compactification des recouvrements finis par des affinoïdes ouverts. — On munit \mathbb{P}_K^1 de la structure uniforme définie dans la Proposition 3.2, lorsque X est égal à \mathbb{P}_K^1 et \mathfrak{B} est la collection des affinoïdes ouverts. La topologie sur \mathbb{P}_K^1 déduite de la structure uniforme coïncide avec la topologie induite par la distance Δ (Proposition 3.3). On dénote par \mathbb{P}_K^1 le séparé complété de \mathbb{P}_K^1 , voir § 3.5. Comme \mathbb{P}_K^1 est séparé, \mathbb{P}_K^1 est canoniquement isomorphe au sous-espace dense de \mathbb{P}_K^1 des filtres convergents (§ 3.5). De plus, l'espace uniforme \mathbb{P}_K^1 est compact (Proposition 3.5) et il est donc une compactification de \mathbb{P}_K^1 . Notons finalement que \mathbb{P}_K^1 est un espace uniforme régulier (§ 3.5).

Proposition 4.1. — *L'espace uniforme \mathbb{P}_K^1 est métrisable si et seulement si le corps résiduel et le groupe des valeurs de K sont dénombrables.*

Démonstration. — Supposons d'abord que le corps résiduel et le groupe des valeurs de K soient dénombrables. Alors la collection des boules ouvertes de X et la collection des affinoïdes ouvertes de \mathbb{P}_K^1 sont dénombrables. Il s'en suit que \mathbb{P}_K^1 est métrisable, voir § 3.4.

Supposons d'autre part que le corps résiduel de K ou son groupe de valeurs ne soit pas dénombrable. Alors pour chaque $r \in |K^*|$ la collection \mathcal{B}_r des boules ouvertes de K de diamètre r n'est pas dénombrable. Par conséquent $\{\widehat{B} \mid B \in \mathcal{B}_r\}$ est une collection non dénombrable de parties ouvertes de \mathbb{P}_K^1 (Proposition 3.6), qui sont deux à deux disjointes. On conclut que la topologie de \mathbb{P}_K^1 n'admet aucune base dénombrable et que l'espace uniforme \mathbb{P}_K^1 n'est pas métrisable [Bou, IX, § 4, Théorème 1]. \square

4.3. Points de \mathbb{P}_K^1 . — Rappelons que les points de \mathbb{P}_K^1 sont les filtres de Cauchy minimaux, voir § 3.5.

Proposition 4.2. — *Soit \mathfrak{F} un filtre de Cauchy minimal qui ne soit pas convergent, i.e. dans $\mathbb{P}_K^1 \setminus \mathbb{P}_K^1$. Alors la collection \mathfrak{D} de toutes les boules de K contenues dans \mathfrak{F} est non vide et complètement ordonnée par rapport à l'inclusion.*

De plus, pour l'intersection $B_{\mathfrak{F}} = \bigcap_{B \in \mathfrak{D}} B$ il y a trois cas.

1. $B_{\mathfrak{F}}$ est une boule fermée de K . Alors la collection de tous les affinoïdes ouverts de la forme

$$\{z \in K \mid r < \min\{|z - a_j| \mid j = 1, \dots, k\} < r'\},$$

où k est un entier positif, $a_1, \dots, a_k \in B_{\mathfrak{F}}$, $r \in (0, \text{diam}(B_{\mathfrak{F}}))$ et $r' > \text{diam}(B_{\mathfrak{F}})$, est une base du filtre \mathfrak{F} .

2. $B_{\mathfrak{F}}$ est une boule irrationnelle de K . Alors la collection de toutes les couronnes de la forme $\{z \in K \mid r < |z - a| < r'\}$, pour $a \in B_{\mathfrak{F}}$, $r \in (0, \text{diam}(B_{\mathfrak{F}}))$ et $r' > \text{diam}(B_{\mathfrak{F}})$, est une base du filtre \mathfrak{F} .

3. $B_{\mathfrak{F}}$ est vide. Alors toute suite décroissante d'éléments de \mathfrak{D} dont l'intersection est vide, est une base du filtre \mathfrak{F} .

Inversement, toute collection comme dans la partie 1 (resp. 2), construite à partir d'une boule fermée (resp. irrationnelle) $B := B_{\mathfrak{F}}$ de K , et toute suite décroissante de boules de K dont l'intersection est vide, est une base d'un filtre de Cauchy minimal qui n'est pas convergent.

La démonstration de cette proposition est au paragraphe § 4.4 ci-dessous.

D'après la proposition il y a 4 types de points de \mathbb{P}_K^1 :

- (1) Les points de \mathbb{P}_K^1 .
- (2) Les points rationnels, déterminés par une boule fermée de K .
- (3) Les points irrationnels, déterminés par une boule irrationnelle de K .
- (4) Les points singuliers, déterminés par une suite décroissante de boules de K , dont l'intersection est vide.

Il est facile de voir que deux boules fermées ou irrationnelles distinctes de K déterminent des points distincts de \mathbb{P}_K^1 . Les points rationnels (resp. irrationnels) de \mathbb{P}_K^1 sont alors en bijection avec les boules fermées (resp. irrationnelles) de K .

4.4. Démonstration de la Proposition 4.2. — La démonstration de la Proposition 4.2 est ci-dessous ; elle s'appuie sur les lemmes 4.3 et 4.4.

Lemme 4.3. — *Pour qu'un filtre de Cauchy \mathfrak{F} soit minimal, il suffit qu'il admette une base formée d'affinoïdes ouverts et que tout élément de \mathfrak{F} contienne un affinoïde fermé appartenant à \mathfrak{F} .*

Démonstration. — Soit \mathfrak{F} un filtre de Cauchy satisfaisant la propriété décrite et soit \mathfrak{F}' le filtre de Cauchy minimal contenu dans \mathfrak{F} . Comme par hypothèse \mathfrak{F} admet une base formée d'affinoïdes ouverts, il suffit de montrer que pour tout affinoïde ouvert Y contenu dans \mathfrak{F} , on a $Y \in \mathfrak{F}'$.

Par hypothèse il existe un affinoïde fermé $X \in \mathfrak{F}$ contenu dans Y . Soient B_1, \dots, B_k les composantes de $\mathbb{P}_K^1 \setminus X$. Alors $C = \{Y, B_1, \dots, B_k\}$ est un recouvrement fini de \mathbb{P}_K^1 par affinoïdes ouverts. Le Lemme 3.4 implique qu'au moins l'un des éléments de C appartient à \mathfrak{F} . Mais, comme $X \in \mathfrak{F}$, aucune des boules B_i n'appartient à \mathfrak{F} . Comme $\mathfrak{F}' \subset \mathfrak{F}$ aucune des boules B_i n'appartient à \mathfrak{F}' et alors le Lemme 3.4 implique qu'on a $Y \in \mathfrak{F}'$. Ceci termine la preuve du lemme. \square

Lemme 4.4. — *Soit \mathfrak{B} une collection d'affinoïdes ouverts, décrite à partir d'une boule fermée (resp. irrationnelle) B de K , comme dans la partie 1 (resp. 2) de la proposition, ou soit \mathfrak{B} une suite décroissante de boules de K dont l'intersection est vide. Alors \mathfrak{B} est une base d'un filtre de Cauchy minimal qui n'est pas convergent.*

Démonstration. — Il est facile de voir que toute intersection finie d'éléments de \mathfrak{B} contient un élément de \mathfrak{B} . Par conséquent \mathfrak{B} engendre un filtre, qu'on note par \mathfrak{F} . Comme l'intersection des éléments de \mathfrak{B} est vide, le filtre \mathfrak{F} n'est pas convergent. Il est facile de voir que \mathfrak{B} , et donc \mathfrak{F} , vérifie la propriété décrite dans le Lemme 4.3. Il suffit alors de montrer que le filtre \mathfrak{F} est de Cauchy. D'après le Lemme 3.4 il faut montrer que \mathfrak{F} contient un élément de chaque recouvrement dans \mathfrak{C} .

Soit alors $C \in \mathfrak{C}$. Il y a trois cas.

1. \mathfrak{B} est définie à partir d'une boule fermée B . Après changement de coordonnée affine, on suppose $B = \mathcal{O}_K = \{|z| \leq 1\}$. Comme par hypothèse le corps résiduel de K est infini, il existe un élément Y de C qui rencontre au moins 2 classes résiduelles. Chaque composante de $\mathbb{P}_K^1 \setminus Y$ est alors, soit disjointe de \mathcal{O}_K , soit contenue dans \mathcal{O}_K . En particulier il existe $r' > 1$ tel que $\{1 < |z| < r'\} \subset Y$. On désigne par B_1, \dots, B_k les composantes de $\mathbb{P}_K^1 \setminus Y$ contenues dans \mathcal{O}_K . Comme Y rencontre au moins 2 classes résiduelles, on a $\max\{\text{diam}(B_j)\} < 1$. On choisit $r \in (\max\{\text{diam}(B_j)\}, 1)$ et pour chaque $j = 1, \dots, k$ on choisit un point $a_j \in B_j$. Alors l'affinoïde ouvert $\{z \in K \mid r < \min\{|z - a_j|\} < r'\}$ est un élément de \mathfrak{B} contenu dans Y . Il s'en suit que $Y \in \mathfrak{F}$.

2. \mathfrak{B} est définie à partir d'une boule irrationnelle B . Après changement de coordonnée affine, on suppose que B est de la forme $\{|z| < r_0\}$, avec $r_0 \notin |K^*|$. Notons que tout affinoïde ouvert contenu dans B (resp. $\mathbb{P}_K^1 \setminus B$) est contenu dans une boule ouverte contenue dans B (resp. $\mathbb{P}_K^1 \setminus B$). Par conséquent il existe $Y \in C$ qui rencontre B et $\mathbb{P}_K^1 \setminus B$. Alors il est facile de voir que toute composante de $\mathbb{P}_K^1 \setminus Y$ est contenue dans B ou dans $\mathbb{P}_K^1 \setminus B$. Il existe donc

$r \in (0, r_0)$ et $r' > r_0$ dans $|K^*|$, tels que la couronne $\{z \in K \mid r < |z| < r'\} \in \mathfrak{B}$ soit contenue dans Y . On a alors $Y \in \mathfrak{F}$.

3. \mathfrak{B} est une suite décroissante de boules de K dont l'intersection est vide. Considérons une boule D de \mathbb{P}_K^1 quelconque. Si $D \subset K$, alors on choisit un point x dans D et sinon, alors on choisit un point x dans $K \setminus D$. Comme $\bigcap_{B \in \mathfrak{B}} B = \emptyset$ il existe une boule $B_0 \in \mathfrak{B}$ contenue dans $K \setminus \{x\}$. Il est facile de voir que dans ce cas on a $B_0 \subset D$ ou $B_0 \subset \mathbb{P}_K^1 \setminus D$.

Considérons maintenant un affinoïde ouvert $Y = \bigcap_{j=1, \dots, j} D_j$ quelconque. Si l'on applique le raisonnement précédent à chacune des boules D_i , on conclut qu'il existe une boule B_0 dans \mathfrak{B} telle que $B_0 \subset Y$ ou telle que $B_0 \subset \mathbb{P}_K^1 \setminus Y$. Il s'en suit qu'il existe $Y \in \mathfrak{C}$ et $B \in \mathfrak{B}$ tel que $B \subset Y$. On a alors $Y \in \mathfrak{F}$. \square

Démonstration de la Proposition 4.2.. — La dernière assertion de la proposition est donnée par le Lemme 4.4.

L'ensemble \mathfrak{D} est complètement ordonné par rapport à l'inclusion, car deux boules quelconques de K qui s'intersectent sont reliées par l'inclusion. Montrons maintenant que \mathfrak{D} n'est pas vide. Comme par hypothèse \mathfrak{F} n'est pas convergent, on a en particulier $\mathfrak{F} \neq \infty$ et par conséquent il existe $r > 0$ tel que $\{|z| > r\} \cup \{\infty\} \notin \mathfrak{F}$. Le Lemme 3.4 entraîne donc que $\{|z| < 2 \cdot r\} \in \mathfrak{F}$.

Supposons d'abord que l'ensemble $B_{\mathfrak{F}}$ est vide et soit \mathfrak{B} une suite décroissante de boules dans \mathfrak{D} dont l'intersection est vide. Le Lemme 4.4 implique alors que \mathfrak{B} est une base d'un filtre de Cauchy minimal. Ce filtre est contenu dans \mathfrak{F} et par minimalité il est égal à \mathfrak{F} . Il s'en suit que \mathfrak{B} est une base de \mathfrak{F} .

Supposons maintenant que l'ensemble $B_{\mathfrak{F}}$ est non vide. Alors pour chaque $a_0 \in B_{\mathfrak{F}}$ on a

$$B_{\mathfrak{F}} = \{z \in K \mid |z - a_0| \leq r_0\},$$

pour un certain $r_0 \geq 0$. Comme par hypothèse \mathfrak{F} n'est pas convergent, on a $r_0 > 0$ et donc $B_{\mathfrak{F}}$ est une boule fermée ou irrationnelle de K . Par le Lemme 4.4, la collection d'affinoïdes ouverts $\mathfrak{B}_{\mathfrak{F}}$, décrite dans la partie 1 lorsque $r_0 \in |K^*|$ et dans la partie 2 lorsque $r_0 \notin |K^*|$, est une base d'un filtre de Cauchy minimal. Pour montrer que $\mathfrak{B}_{\mathfrak{F}}$ est une base de \mathfrak{F} , il suffit alors de montrer que chaque élément de $\mathfrak{B}_{\mathfrak{F}}$ appartient à \mathfrak{F} . Il suffit donc de montrer que pour chaque $a \in B_{\mathfrak{F}}$, chaque $r \in (0, r_0)$ et chaque $r' > r_0$, la couronne $\{r < |z - a| < r'\}$ appartient à \mathfrak{F} . Par définition de r_0 , la boule $\{|z - a| < r'\}$ appartient à \mathfrak{F} et pour chaque $\rho \in (0, r_0)$ la boule $\{|z - a| < \rho\}$ n'appartient pas à \mathfrak{F} . Si l'on choisit $\rho \in (r, r_0)$ alors,

$$\{\{|z - a| > r\} \cup \{\infty\}, \{|z - a| < \rho\}\} ,$$

est un recouvrement de \mathbb{P}_K^1 dans \mathfrak{C} . Le Lemme 3.4 implique alors qu'on a $\{|z - a| > r\} \cup \{\infty\} \in \mathfrak{F}$ et donc $\{r < |z - a| < r'\} \in \mathfrak{F}$. Ceci termine la preuve de la proposition. \square

4.5. Caratérisation des filtres de Cauchy minimaux. —

Corollaire 4.5. — *Un filtre de Cauchy \mathfrak{F} est minimal si et seulement si il admet une base formée d'affinoïdes ouverts et si tout élément de \mathfrak{F} contient un affinoïde fermé appartenant à \mathfrak{F} .*

Démonstration. — Il est clair que tout filtre convergent satisfait la propriété décrite. D'autre part, on voit facilement de la Proposition 4.2 que tout filtre de Cauchy minimal qui n'est pas convergent satisfait la propriété décrite. L'implication inverse est donnée par le Lemme 4.3. \square

4.6. Lien avec la droite projective de Berkovich. — Par définition, l'espace analytique de K au sens de Berkovich est égal à l'espace de toutes les seminormes multiplicatives et continues dans $K[T]$, muni de la plus petite topologie que rend toutes ces seminormes continues [Ber1]. On obtient l'espace analytique de \mathbb{P}_K^1 par recollement de deux copies de l'espace analytique de K , de la façon usuelle.

Le lien entre cet espace analytique avec l'espace uniforme \mathbb{P}_K^1 qu'on a décrit ici, et alors très explicite. Chaque filtre de Cauchy minimal \mathfrak{F} distinct de ∞ définit une semi-norme multiplicative et continue $|\cdot|_{\mathfrak{F}}$ dans $K[T]$, par

$$|P|_{\mathfrak{F}} := \lim_{\mathfrak{F}} |P| .$$

Inversement, toute semi-norme multiplicative de $K[T]$, qui n'est pas de la forme $P \mapsto |P(x)|$ pour un certain point $x \in K$, est de cette forme. De plus, l'application $\mathfrak{F} \mapsto |\cdot|_{\mathfrak{F}}$ est un homeomorphisme entre $\mathbb{P}_K^1 \setminus \{\infty\}$ et l'espace analytique de K .

Notons d'autre part que la description des quatre types de points de \mathbb{P}_K^1 en § 4.3, est analogue à la description dans [Ber1, p.5]. Les points de \mathbb{P}_K^1 sont appelés points de « type (1) » dans [Ber1], les points qu'on appelle ici « points rationnels » correspondent aux points de « type (2) », les points « irrationnels » aux points de « type (3) », et les points « singuliers » aux points de « type (4) ».

5. Géométrie de \mathbb{P}_K^1

Comme dans la section précédente, on fixe un corps K muni d'une norme ultramétrique $|\cdot|$ pour laquelle K est complet et on suppose que le corps résiduel de K est infini et que le groupe des valeurs de K n'est pas discret.

5.1. Boules et affinoïdes de \mathbb{P}_K^1 . — Etant donnée une boule ouverte ou irrationnelle (resp. fermée ou irrationnelle) B de \mathbb{P}_K^1 , on appelle \widehat{B} (resp. \overline{B}) *boule ouverte* (resp. *fermée*) de \mathbb{P}_K^1 . Notons que le complémentaire d'une boule ouverte (resp. fermée) de \mathbb{P}_K^1 est une boule fermée (resp. ouverte) de \mathbb{P}_K^1 . De plus, toute boule ouverte (resp. fermée) de \mathbb{P}_K^1 est un ensemble ouvert (resp. fermé) de \mathbb{P}_K^1 (Proposition 3.6).

Etant donné un affinoïde ouvert (resp. fermé) Y de \mathbb{P}_K^1 , on appelle \widehat{Y} (resp. \overline{Y}) *affinoïde ouvert* (resp. *fermé*) de \mathbb{P}_K^1 . Le lemme ci-dessous implique que toute réunion finie avec intersection non vide et toute intersection non vide d'affinoïdes ouverts (resp. fermés) de \mathbb{P}_K^1 est un affinoïde ouvert (resp. fermé) de \mathbb{P}_K^1 . En particulier tout affinoïde ouvert (resp. fermé) de \mathbb{P}_K^1 s'écrit comme une intersection finie non vide de boules ouvertes (resp. fermées) de \mathbb{P}_K^1 .

Notons que tout affinoïde ouvert (resp. fermé) est ouvert (resp. fermé) dans \mathbb{P}_K^1 (Proposition 3.6). De plus, la collection des affinoïdes ouverts de \mathbb{P}_K^1 est une base de la topologie de \mathbb{P}_K^1 (Proposition 3.6).

Lemme 5.1. — *Soient Y et Y' des affinoïdes ouverts (resp. fermés) de \mathbb{P}_K^1 . Alors on a*

$$\widehat{Y \cap Y'} = \widehat{Y} \cap \widehat{Y'} \quad \text{et} \quad \widehat{Y \cup Y'} = \widehat{Y} \cup \widehat{Y'}$$

$$(\text{resp. } \overline{Y \cap Y'} = \overline{Y} \cap \overline{Y'} \quad \text{et} \quad \overline{Y \cup Y'} = \overline{Y} \cup \overline{Y'}).$$

Démonstration. — A l'aide de la Proposition 3.6, les assertions concernant les affinoïdes fermés se déduisent de celles concernant les affinoïdes ouverts. Par (4) il suffit donc de montrer que si Y et Y' sont des affinoïdes ouverts, alors on a $\widehat{Y \cup Y'} \subset \widehat{Y} \cup \widehat{Y'}$.

Soit $\mathfrak{F} \in \widehat{Y \cup Y'}$. Il existe alors un affinoïde fermé $X \in \mathfrak{F}$ contenu dans $Y \cup Y'$ (Corollaire 4.5). Par conséquent, la collection C formée de Y , Y' et des boules ouvertes composantes de $\mathbb{P}_K^1 \setminus X$, est un recouvrement fini de \mathbb{P}_K^1 . Le Lemme 3.4 implique donc que \mathfrak{F} contient l'un des éléments de C . Comme $X \in \mathfrak{F}$, le filtre \mathfrak{F} ne contient aucune composante de $\mathbb{P}_K^1 \setminus X$; \mathfrak{F} contient alors Y ou Y' . \square

5.2. Le point de \mathbb{P}_K^1 déterminé par une boule de \mathbb{P}_K^1 . — Rappelons que pour un point rationnel ou irrationnel \mathfrak{F} de \mathbb{P}_K^1 , on désigne par $B_{\mathfrak{F}}$ la boule fermée ou irrationnelle de K déterminée par \mathfrak{F} , voir § 4.3.

Soit B une boule de \mathbb{P}_K^1 et soit $B' = \mathbb{P}_K^1 \setminus B$ la boule complémentaire. Notons qu'on a, soit $B \subset K$, soit $B' \subset K$. Lorsque $B \subset K$ (resp. $B' \subset K$), soit \mathfrak{F} le point de \mathbb{P}_K^1 déterminé par l'unique boule fermée ou irrationnelle de K contenant B (resp. B') et du même diamètre que B (resp. B'). Notons que si B est ouverte ou fermée (resp. irrationnelle), alors \mathfrak{F} est rationnel (resp. irrationnel).

De cette façon chaque boule B de \mathbb{P}_K^1 détermine un point de \mathbb{P}_K^1 . Notons que deux boules complémentaires déterminent le même point. Le lemme suivant est une conséquence immédiate de la Proposition 4.2.

Lemme 5.2. — *Soit B une boule de \mathbb{P}_K^1 et soit \mathfrak{F} le point de \mathbb{P}_K^1 déterminé par B . Alors $B \not\subset \mathfrak{F}$ et B rencontre tout élément de \mathfrak{F} .*

5.3. Boules de \mathbb{P}_K^1 associées à un point de \mathbb{P}_K^1 . — Soit \mathfrak{F} un point rationnel ou irrationnel de \mathbb{P}_K^1 . On dira qu'une boule B de \mathbb{P}_K^1 est *associée* à \mathfrak{F} , si \mathfrak{F} est le point de \mathbb{P}_K^1 déterminé par B . On désigne par $\pi(\mathfrak{F})$ la collection de toutes les boules ouvertes ou irrationnelles de \mathbb{P}_K^1 associées à \mathfrak{F} . Notons que lorsque \mathfrak{F} est rationnel (resp. irrationnel) tous les éléments de $\pi(\mathfrak{F})$ sont des boules ouvertes (resp. irrationnelles) de \mathbb{P}_K^1 .

Il est facile de voir que la boule $B(\infty) = \mathbb{P}_K^1 \setminus B_{\mathfrak{F}}$ appartient à $\pi(\mathfrak{F})$. De plus, toute boule appartenant à $\pi(\mathfrak{F})$ et distincte de $B(\infty)$ est contenue dans $B_{\mathfrak{F}}$ et tout point de $B_{\mathfrak{F}}$ est contenu dans l'un des éléments de $\pi(\mathfrak{F})$. La propriété ultramétrique implique alors que les éléments de $\pi(\mathfrak{F})$ distincts de $B(\infty)$ sont deux à deux disjoints. On conclut que les éléments de $\pi(\mathfrak{F})$ forment une partition de \mathbb{P}_K^1 ; en particulier on a

$$\mathbb{P}_K^1 = \sqcup_{B \in \pi(\mathfrak{F})} B .$$

Lorsque \mathfrak{F} est irrationnel on a $\pi(\mathfrak{F}) = \{B_{\mathfrak{F}}, \mathbb{P}_K^1 \setminus B_{\mathfrak{F}}\}$.

Dans le cas où $B_{\mathfrak{F}}$ est la boule unité \mathcal{O}_K , les éléments de $\pi(\mathfrak{F})$ coïncident avec les classes résiduelles; i.e. avec les fibres de la projection de \mathbb{P}_K^1 vers $\mathbb{P}_{\tilde{K}}^1$. On a donc un paramétrage de $\pi(\mathfrak{F})$ par $\mathbb{P}_{\tilde{K}}^1$. Lorsque \mathfrak{F} est un point rationnel quelconque, on peut se ramener au cas précédent par un changement affine de coordonnées. Alors on a un paramétrage de $\pi(\mathfrak{F})$ par $\mathbb{P}_{\tilde{K}}^1$, qui est unique modulo une transformation affine de $\mathbb{P}_{\tilde{K}}^1$.

5.4. La partition de \mathbb{P}_K^1 déterminée par un point. —

Proposition 5.3. — Soit \mathfrak{F} un point rationnel ou irrationnel de \mathbb{P}_K^1 . Alors les ensembles de la forme \widehat{B} , avec $B \in \pi(\mathfrak{F})$, sont disjoints deux à deux et on a

$$\mathbb{P}_K^1 \setminus \{\mathfrak{F}\} = \sqcup_{B \in \pi(\mathfrak{F})} \widehat{B}.$$

Démonstration. — Comme les éléments de $\pi(\mathfrak{F})$ sont disjoints deux à deux, les ensembles de la forme \widehat{B} , avec $B \in \pi(\mathfrak{F})$, sont disjoints deux à deux. Par le Lemme 5.2 pour chaque $B \in \pi(\mathfrak{F})$ on a $B \notin \mathfrak{F}$; c'est-à-dire $\mathfrak{F} \notin \widehat{B}$. Il reste à montrer que pour tout point \mathfrak{F}' de \mathbb{P}_K^1 distinct de \mathfrak{F} il existe $B \in \pi(\mathfrak{F})$ tel que $B \in \mathfrak{F}'$. Soit $Y \in \mathfrak{F}$ un affinoïde ouvert tel que $Y \notin \mathfrak{F}'$. Par la Proposition 4.2 il est facile de voir qu'il n'y a qu'un nombre fini d'éléments B_1, \dots, B_n de $\pi(\mathfrak{F})$ qui ne sont pas contenus dans Y . Alors $\{Y, B_1, \dots, B_n\}$ est un recouvrement fini de \mathbb{P}_K^1 par d'affinoïdes ouverts. Par conséquent \mathfrak{F}' contient l'un des éléments de ce recouvrement. Comme $Y \notin \mathfrak{F}'$ on conclut qu'il existe $j = 1, \dots, n$ tel que $B_j \in \mathfrak{F}'$. On a donc $\mathfrak{F}' \in \widehat{B}_j$. \square

5.5. Frontière d'une boule. — Rappelons que pour une partie Y de \mathbb{P}_K^1 la fermeture topologique $\overline{\widehat{Y}}$ de \widehat{Y} est égale à \overline{Y} , voir § 3.6.

Lemme 5.4. — Soit B une boule de \mathbb{P}_K^1 et soit \mathfrak{F} le point de \mathbb{P}_K^1 déterminée par B . Alors on a

$$\mathfrak{F} \notin \widehat{B} \text{ et } \overline{B} = \widehat{B} \sqcup \{\mathfrak{F}\}.$$

En particulier l'intérieur de \overline{B} est égal à \widehat{B} et les ensembles \overline{B} et \widehat{B} ont la même frontière topologique, égale à $\{\mathfrak{F}\}$.

Démonstration. — Le Lemme 5.2 implique qu'on a $\widehat{B} \cap \{\mathfrak{F}\} = \emptyset$ et $\mathfrak{F} \in \overline{B}$.

Lorsque la boule B est ouverte ou irrationnelle, la Proposition 5.3 implique que le complémentaire de $\widehat{B} \cup \{\mathfrak{F}\}$ dans \mathbb{P}_K^1 est égal à l'ensemble ouvert $\bigcup_{B' \in \pi(\mathfrak{F}), B' \neq B} \widehat{B}'$. Dans ce cas on a donc $\overline{B} = \widehat{B} \sqcup \{\mathfrak{F}\}$.

Lorsque la boule B est fermée, l'ensemble $B' = \mathbb{P}_K^1 \setminus B$ est une boule ouverte et le point de \mathbb{P}_K^1 déterminé par B' est \mathfrak{F} . Par ce qui précède on a donc $\overline{B'} = \widehat{B'} \sqcup \{\mathfrak{F}\}$ et la Proposition 3.6 implique qu'on a $\widehat{B} = \mathbb{P}_K^1 \setminus \overline{B'} = \overline{B} \setminus \{\mathfrak{F}\}$. \square

5.6. Frontière d'un affinoïde. —

Lemme 5.5. — Soit Y un affinoïde ouvert ou fermé de \mathbb{P}_K^1 et soient B_1, \dots, B_n les boules de \mathbb{P}_K^1 composantes de $\mathbb{P}_K^1 \setminus Y$. Pour $j = 1, \dots, n$ on désigne par \mathfrak{F}_j le point de \mathbb{P}_K^1 déterminé par la boule B_j . Alors on a

$$\widehat{Y} \cap \{\mathfrak{F}_1, \dots, \mathfrak{F}_n\} = \emptyset \text{ et } \overline{Y} = \widehat{Y} \sqcup \{\mathfrak{F}_1, \dots, \mathfrak{F}_n\}.$$

En particulier l'intérieur de \overline{Y} est égal à \widehat{Y} et les ensembles \widehat{Y} et \overline{Y} ont la même frontière topologique, égale à $\{\mathfrak{F}_1, \dots, \mathfrak{F}_n\}$.

Démonstration. — Pour chaque j on pose $D_j := \mathbb{P}_K^1 \setminus B_j$. Alors on a $Y = D_1 \cap \dots \cap D_n$ et le Lemme 5.2 implique que \widehat{Y} est disjoint de $\{\mathfrak{F}_1, \dots, \mathfrak{F}_n\}$.

Lorsque l'affinoïde Y est ouvert, les boules D_j sont ouvertes et les lemmes 5.1 et 5.4 impliquent

$$\overline{Y} = \overline{D_1} \cap \dots \cap \overline{D_n} = \widehat{Y} \sqcup \{\mathfrak{F}_1, \dots, \mathfrak{F}_n\} .$$

Supposons maintenant que l'affinoïde Y est fermé. Alors chacune des boules B_j est ouverte et les lemmes 5.1 et 5.4 impliquent qu'on a

$$\overline{\mathbb{P}_K^1 \setminus Y} = \overline{B_1} \cup \dots \cup \overline{B_n} = (\widehat{B_1} \cup \dots \cup \widehat{B_n}) \cup \{\mathfrak{F}_1, \dots, \mathfrak{F}_n\} .$$

La Proposition 3.6 implique alors qu'on a

$$\widehat{Y} = (\mathbb{P}_K^1 \setminus (\widehat{B_1} \cup \dots \cup \widehat{B_n})) \setminus \{\mathfrak{F}_1, \dots, \mathfrak{F}_n\} = \overline{Y} \setminus \{\mathfrak{F}_1, \dots, \mathfrak{F}_n\} .$$

Comme les ensembles \widehat{Y} et $\{\mathfrak{F}_1, \dots, \mathfrak{F}_n\}$ sont disjoints, on obtient l'assertion désirée. \square

6. L'arbre associé à un espace ultramétrique

Dans cette section on associe à chaque espace ultramétrique (X, dist) un arbre réel \mathcal{A}_X où X se plonge isométriquement. On pourra consulter [Hug] ou [Le] pour les propriétés fonctorielles de quelques variantes de cette construction. Dans cette section on suit la notation de [R-L5, §§3, 4]. Par simplicité on se restreindra au cas des espaces métriques complets.

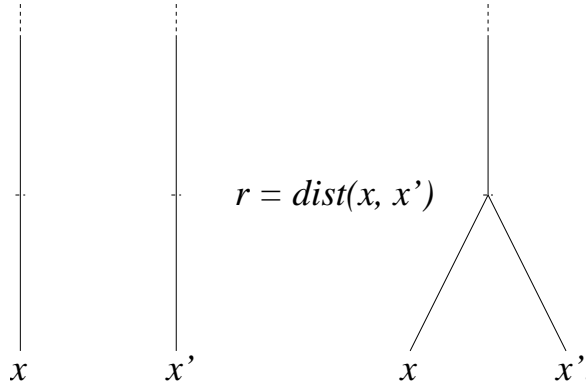
6.1. Espace des boules. — Fixons un espace ultramétrique complet (X, dist) de diamètre $\text{diam}(X) \in [0, +\infty]$ et posons

$$I = \begin{cases} [0, \text{diam}(X)] & \text{lorsque } \text{diam}(X) < +\infty, \\ [0, +\infty) & \text{lorsque } \text{diam}(X) = +\infty. \end{cases}$$

Considérons la relation d'équivalence \sim sur $X \times I$ définie par

$$(x, r) \sim (x', r') \text{ si et seulement si } r = r' \text{ et } r \geq \text{dist}(x, x'),$$

voir figure. On désigne par $\mathcal{A}_X^{\mathbb{R}}$ le quotient $X \times I / \sim$ et pour chaque élément (x, r) de $X \times I$ on désigne par $[x, r]$ le point de $\mathcal{A}_X^{\mathbb{R}}$ représenté par (x, r) .



Notons que l'application $x \mapsto [x, 0]$ de X à $\mathcal{A}_X^{\mathbb{R}}$ est une bijection sur son image. On identifiera X à son image dans $\mathcal{A}_X^{\mathbb{R}}$. D'autre part, notons que lorsque X est de diamètre fini, l'ensemble $X \times \{\text{diam}(X)\}$ est une classe d'équivalence de \sim .

Notons que pour chaque $(x, r) \in X \times I$ l'ensemble

$$\{w \in X \mid \text{dist}(w, x) \leq r\}$$

ne dépend que de la classe d'équivalence de (x, r) , i.e. de $[x, r] \in \mathcal{A}_X^{\mathbb{R}}$. On notera cet ensemble par $B_{[x, r]}$. Notons que lorsque $r > 0$ cet ensemble est une boule de X .

Pour $[x, r] \in \mathcal{A}_K^{\mathbb{R}}$ on pose

$$\text{diam}([x, r]) := r .$$

La fonction $\text{diam} : \mathcal{A}_X^{\mathbb{R}} \rightarrow I$ ainsi définie s'annule précisément sur X .

6.2. Ordre partiel \preceq . — On désigne par \preceq l'ordre partiel sur $\mathcal{A}_X^{\mathbb{R}}$ définie par,

$$\mathcal{S} \preceq \mathcal{S}' \text{ si et seulement si } B_{\mathcal{S}} \subset B_{\mathcal{S}'} .$$

Si l'on pose $\mathcal{S} = [x, r]$ et $\mathcal{S}' = [x', r']$, alors les points \mathcal{S} et \mathcal{S}' sont reliés par \preceq si et seulement si $\text{dist}(x, x') \leq \max\{r, r'\}$ et dans ce cas on a $\mathcal{S} \preceq \mathcal{S}'$ si et seulement si $r \leq r'$. En particulier $\mathcal{S} \preceq \mathcal{S}'$ implique $\text{diam}(\mathcal{S}) \leq \text{diam}(\mathcal{S}')$.

6.3. Fonctions $\cdot \vee \cdot$ et $\sup\{\cdot, \cdot\}$. — Notons que pour $\mathcal{S} = [x, r]$ et $\mathcal{S}' = [x', r']$ dans $\mathcal{A}_X^{\mathbb{R}}$, on a

$$[x, \max\{r, r', \text{dist}(x, x')\}] = [x', \max\{r, r', \text{dist}(x, x')\}] .$$

On notera ce point de $\mathcal{A}_X^{\mathbb{R}}$ par $\mathcal{S} \vee \mathcal{S}'$. Il est caractérisé comme le plus petit point qui est à la fois plus grand que \mathcal{S} et que \mathcal{S}' , par rapport à l'ordre partiel \preceq . D'autre part, on a

$$(5) \quad \mathcal{S} \preceq \mathcal{S}' \text{ si et seulement si } \mathcal{S} \vee \mathcal{S}' = \mathcal{S}' .$$

En particulier, pour chaque point \mathcal{S} de $\mathcal{A}_X^{\mathbb{R}}$ on a $\mathcal{S} \vee \mathcal{S} = \mathcal{S}$.

Pour \mathcal{S} et \mathcal{S}' comme avant on pose,

$$\begin{aligned} \sup\{\mathcal{S}, \mathcal{S}'\} &:= \text{diam}(\mathcal{S} \vee \mathcal{S}') \\ &= \max\{r, r', \text{dist}(x, x')\} . \end{aligned}$$

Notons qu'on a

$$\max\{\text{diam}(\mathcal{S}), \text{diam}(\mathcal{S}')\} \leq \sup\{\mathcal{S}, \mathcal{S}'\} ,$$

et pour $\mathcal{S}_0, \mathcal{S}_1 \in \mathcal{A}_X^{\mathbb{R}}$,

$$(6) \quad \sup\{\mathcal{S}_0, \mathcal{S}_1\} \leq \max\{\sup\{\mathcal{S}_0, \mathcal{S}\}, \sup\{\mathcal{S}, \mathcal{S}_1\}\} .$$

Notons finalement qu'on a $\sup\{\mathcal{S}, \mathcal{S}\} = \text{diam}(\mathcal{S})$.

6.4. Segments. — Etant donnés $\mathcal{S} = [x, r]$, $\mathcal{S}' = [x', r'] \in \mathcal{A}_X^{\mathbb{R}}$ on pose,

$$\begin{aligned} [\mathcal{S}, \mathcal{S}'] &:= \{\tilde{\mathcal{S}} \in \mathcal{A}_X^{\mathbb{R}} \mid \mathcal{S} \preceq \tilde{\mathcal{S}} \preceq \mathcal{S} \vee \mathcal{S}' \text{ ou } \mathcal{S}' \preceq \tilde{\mathcal{S}} \preceq \mathcal{S} \vee \mathcal{S}'\} \\ &= \{[x, r''] \mid r'' \in [r, \max\{r, r', \text{dist}(x, x')\}]\} \\ &\quad \cup \{[x', r''] \mid r'' \in [r, \max\{r, r', \text{dist}(x, x')\}]\} . \end{aligned}$$

Notons qu'on a $[\mathcal{S}', \mathcal{S}] = [\mathcal{S}, \mathcal{S}']$. On utilisera la notation usuelle d'intervalles :

$$[\mathcal{S}, \mathcal{S}') = (\mathcal{S}', \mathcal{S}] = [\mathcal{S}, \mathcal{S}') \setminus \{\mathcal{S}'\} \text{ et } (\mathcal{S}, \mathcal{S}') = (\mathcal{S}', \mathcal{S}) = [\mathcal{S}, \mathcal{S}') \setminus \{\mathcal{S}\}.$$

De plus on dira qu'un point $\tilde{\mathcal{S}}$ de $\mathcal{A}_X^{\mathbb{R}}$ est *entre* deux points distincts \mathcal{S} et \mathcal{S}' de $\mathcal{A}_X^{\mathbb{R}}$ si $\tilde{\mathcal{S}} \in (\mathcal{S}, \mathcal{S}')$, et on dira qu'une partie de $\mathcal{A}_X^{\mathbb{R}}$ est *convexe* si et seulement si pour toute paire de points \mathcal{S} et \mathcal{S}' appartenant à cet ensemble, le segment $[\mathcal{S}, \mathcal{S}']$ appartient à cet ensemble.

Soient $\mathcal{S} = [x, r]$ et $\mathcal{S}' = [x', r']$ dans $\mathcal{A}_X^{\mathbb{R}}$. Alors il est facile de voir que l'ensemble $[\mathcal{S}, \mathcal{S}']$ est l'union disjointe de $\mathcal{S} \vee \mathcal{S}'$ et des ensembles

$$\begin{aligned} [\mathcal{S}, \mathcal{S} \vee \mathcal{S}') &= \{[x, r''] \mid r'' \in [r, \max\{r, r', \text{dist}(x, x')\}]\} , \\ [\mathcal{S}', \mathcal{S} \vee \mathcal{S}') &= \{[x', r''] \mid r'' \in [r', \max\{r, r', \text{dist}(x, x')\}]\} . \end{aligned}$$

D'autre part, notons que la fonction diam induit une bijection croissante entre $[\mathcal{S}, \mathcal{S} \vee \mathcal{S}']$ (resp. $[\mathcal{S}', \mathcal{S} \vee \mathcal{S}']$) et l'intervalle $[\text{diam}(\mathcal{S}), \sup\{\mathcal{S}, \mathcal{S}'\}]$ (resp. $[\text{diam}(\mathcal{S}'), \sup\{\mathcal{S}, \mathcal{S}'\}]$) de \mathbb{R} .

6.5. Distance δ . — Etant donné deux points $\mathcal{S} = [x, r]$ et $\mathcal{S}' = [x', r']$ de $\mathcal{A}_X^{\mathbb{R}}$, on pose

$$\begin{aligned} \delta(\mathcal{S}, \mathcal{S}') &:= \sup\{\mathcal{S}, \mathcal{S}'\} - \frac{1}{2}(\text{diam}(\mathcal{S}) + \text{diam}(\mathcal{S}')) \\ &= \max\{r, r', \text{dist}(x, x')\} - \frac{1}{2}(r + r') . \end{aligned}$$

On vérifie aisément que δ définit une distance sur $\mathcal{A}_X^{\mathbb{R}}$ qui coïncide avec la distance dist sur X .

Notons que pour chaque $x \in X$ la fonction $r \mapsto [x, \frac{1}{2}r]$ induit une isométrie entre $I \subset \mathbb{R}$ et son image dans $\mathcal{A}_X^{\mathbb{R}}$. Par conséquent, lorsque $\mathcal{S} = [x, r]$ et $\mathcal{S}' = [x', r']$ sont des points de $\mathcal{A}_X^{\mathbb{R}}$ tels que $\mathcal{S} \preceq \mathcal{S}'$, alors on a $\mathcal{S}' = [x, r']$ et

$$\delta(\mathcal{S}, \mathcal{S}') = \frac{1}{2}(\text{diam}(\mathcal{S}') - \text{diam}(\mathcal{S})) ,$$

et la fonction $\frac{1}{2} \text{diam}$ induit une isométrie entre $[\mathcal{S}, \mathcal{S}']$ et l'intervalle $[\frac{1}{2} \text{diam}(\mathcal{S}), \frac{1}{2} \text{diam}(\mathcal{S}')] de \mathbb{R} .$

En général, pour chaque $\mathcal{S}, \mathcal{S}' \in \mathcal{A}_X^{\mathbb{R}}$ l'ensemble $[\mathcal{S}, \mathcal{S} \vee \mathcal{S}']$ (resp. $[\mathcal{S}', \mathcal{S} \vee \mathcal{S}']$) est isométrique à un intervalle de \mathbb{R} de longueur

$$\delta(\mathcal{S}, \mathcal{S} \vee \mathcal{S}') = \frac{1}{2}(\sup\{\mathcal{S}, \mathcal{S}'\} - \text{diam}(\mathcal{S}))$$

$$\text{(resp. } \delta(\mathcal{S}', \mathcal{S} \vee \mathcal{S}') = \frac{1}{2}(\sup\{\mathcal{S}, \mathcal{S}'\} - \text{diam}(\mathcal{S}')) \text{),}$$

et l'ensemble $[\mathcal{S}, \mathcal{S}'] = [\mathcal{S}, \mathcal{S} \vee \mathcal{S}'] \cup [\mathcal{S}', \mathcal{S} \vee \mathcal{S}']$ est isométrique à un intervalle de \mathbb{R} de longueur

$$\delta(\mathcal{S}, \mathcal{S} \vee \mathcal{S}') + \delta(\mathcal{S}', \mathcal{S} \vee \mathcal{S}') = \delta(\mathcal{S}, \mathcal{S}') .$$

On a montré ainsi que pour chaque paire de points \mathcal{S} et \mathcal{S}' de $\mathcal{A}_X^{\mathbb{R}}$, l'ensemble $[\mathcal{S}, \mathcal{S}']$ est un arc topologique joignant \mathcal{S} et \mathcal{S}' et que $[\mathcal{S}, \mathcal{S}']$ est isométrique à un intervalle de \mathbb{R} de longueur $\delta(\mathcal{S}, \mathcal{S}')$.

6.6. Complétion de $\mathcal{A}_X^{\mathbb{R}}$. — On désigne par \mathcal{A}_X la complétion de $\mathcal{A}_X^{\mathbb{R}}$ par rapport à la distance δ et on désigne aussi par δ l'extension de δ à \mathcal{A}_X .

L'inégalité

$$|\text{diam}(\mathcal{S}) - \text{diam}(\mathcal{S}')| \leq 2\delta(\mathcal{S}, \mathcal{S}') ,$$

valable pour tout \mathcal{S} et \mathcal{S}' dans $\mathcal{A}_X^{\mathbb{R}}$, implique que la fonction diam s'étend continuellement à \mathcal{A}_X . On désigne cette extension aussi par diam .

Lemme 6.1. — *La fonction $\text{diam} : \mathcal{A}_X \rightarrow \mathbb{R}$ s'annule précisément sur X .*

Démonstration. — La fonction diam s'annule sur X . D'autre part, soit $\mathcal{S} \in \mathcal{A}_X$ tel que $\text{diam}(\mathcal{S}) = 0$ et soit $\{[x_n, r_n]\}_{n \geq 0}$ une suite de Cauchy dans $\mathcal{A}_X^{\mathbb{R}}$ convergent vers \mathcal{S} . On a donc $r_n = \text{diam}(\mathcal{S}_n) \rightarrow 0$ lorsque $n \rightarrow \infty$ et par conséquent $\{x_n\}_{n \geq 0}$ converge vers \mathcal{S} lorsque $n \rightarrow \infty$. Comme l'inclusion de X dans $\mathcal{A}_X^{\mathbb{R}}$ est isométrique et comme X est complet, on conclut que $\mathcal{S} \in X$. \square

6.7. Extension des fonctions $\cdot \vee \cdot$ et $\sup\{\cdot, \cdot\}$. — Le lemme ci-dessous implique que les fonctions $\cdot \vee \cdot$ et $\sup\{\cdot, \cdot\} = \text{diam}(\cdot \vee \cdot)$ s'étendent de façon continue à $\mathcal{A}_X \times \mathcal{A}_X$. Les propriétés et les notations décrites aux paragraphes précédents s'étendent par continuité à \mathcal{A}_X .

Notons que pour $\mathcal{S}, \mathcal{S}' \in \mathcal{A}_X^{\mathbb{R}}$ l'identité

$$2\delta(\mathcal{S}, \mathcal{S} \vee \mathcal{S}') = \sup\{\mathcal{S}, \mathcal{S}'\} - \text{diam}(\mathcal{S})$$

implique qu'on a $\text{diam}(\mathcal{S}) \leq \sup\{\mathcal{S}, \mathcal{S}'\}$, avec égalité si et seulement si $\mathcal{S} = \mathcal{S} \vee \mathcal{S}'$.

Lemme 6.2. — *Pour $\mathcal{S}, \mathcal{S}_0, \mathcal{S}_1 \in \mathcal{A}_X^{\mathbb{R}}$ on a*

$$\delta(\mathcal{S} \vee \mathcal{S}_0, \mathcal{S} \vee \mathcal{S}_1) \leq \delta(\mathcal{S}_0, \mathcal{S}_1) .$$

Démonstration. — Posons $\mathcal{S} = [x, r]$ et $\mathcal{S}_i = [x_i, r_i]$. Alors,

$$\begin{aligned} 2\delta(\mathcal{S} \vee \mathcal{S}_0, \mathcal{S} \vee \mathcal{S}_1) &= 2 \max\{r, r_0, r_1, \text{dist}(x, x_0), \text{dist}(x, x_1)\} \\ &\quad - \max\{r, r_0, \text{dist}(x, x_0)\} - \max\{r, r_1, \text{dist}(x, x_1)\} \\ &\leq |\max\{r_0, \text{dist}(x, x_0)\} - \max\{r_1, \text{dist}(x, x_1)\}| . \end{aligned}$$

Sans perte de généralité on suppose qu'on a

$$\max\{r_0, \text{dist}(x, x_0)\} \geq \max\{r_1, \text{dist}(x, x_1)\}.$$

Dans le cas $r_0 \geq \text{dist}(x, x_0)$, on a

$$\max\{r_0, \text{dist}(x, x_0)\} - \max\{r_1, \text{dist}(x, x_1)\} \leq r_0 - r_1 \leq 2\delta(\mathcal{S}_0, \mathcal{S}_1) .$$

On se ramène donc au cas $\text{dist}(x, x_0) > r_0$; on a alors

$$\text{dist}(x, x_0) = \max\{r_0, \text{dist}(x, x_0)\} \geq \max\{r_1, \text{dist}(x, x_1)\} .$$

Si $\text{dist}(x, x_1) = \text{dist}(x, x_0)$ alors il n'y a rien à montrer; on suppose donc que $\text{dist}(x, x_1) < \text{dist}(x, x_0)$. Alors $\text{dist}(x_0, x_1) = \text{dist}(x, x_0) \geq \max\{r_0, r_1\}$ d'où,

$$\begin{aligned} 2\delta(\mathcal{S}_0, \mathcal{S}_1) &= 2\text{dist}(x_0, x_1) - r_0 - r_1 \\ &\geq \text{dist}(x, x_0) - \max\{r_1, \text{dist}(x, x_1)\} = 2\delta(\mathcal{S} \vee \mathcal{S}_0, \mathcal{S} \vee \mathcal{S}_1) . \end{aligned}$$

□

6.8. Structure d'arbre. — Rappelons qu'un espace métrique (\mathcal{A}, d) est un *arbre réel* si pour chaque paire de points a et a' dans \mathcal{A} il existe un et un seul arc topologique joignant a et a' et que cet arc topologique est isométrique à un intervalle de \mathbb{R} de longueur $d(a, a')$.

Proposition 6.3. — *Chacun des espaces métriques $(\mathcal{A}_X^{\mathbb{R}}, \delta)$ et (\mathcal{A}_X, δ) est un arbre réel.*

La preuve de cette proposition est ci-dessous. On utilisera la notation usuelle d'intervalles pour désigner les arcs topologiques dans \mathcal{A}_X , de la même façon comme on a fait pour $\mathcal{A}_X^{\mathbb{R}}$, voir § 6.4. Une des conséquences de cette proposition est qu'une partie de $\mathcal{A}_X^{\mathbb{R}}$ (resp. \mathcal{A}_X) est connexe si et seulement si elle est convexe. En particulier, toute intersection d'ensembles connexes est connexe.

La preuve de la proposition s'appuie sur le lemme suivant.

Lemme 6.4. — *Soit $\mathcal{S}_0 = [a_0, r_0]$ un point de $\mathcal{A}_X^{\mathbb{R}}$ et soit $\gamma : [0, 1] \rightarrow \mathcal{A}_X^{\mathbb{R}}$ une fonction continue telle que $\gamma(0) \preceq \mathcal{S}_0$ et telle que pour chaque $t \in [0, 1]$ on ait $\text{diam}(\gamma(t)) \leq r_0$. Alors pour tout $t \in [0, 1]$ on a $\gamma(t) \preceq \mathcal{S}_0$ avec égalité si et seulement si $\text{diam}(\gamma(t)) = r_0$.*

Démonstration. — Etant donné $a \in X$ et $r > 0$ soit

$$\mathcal{B}^-(a, r) = \{[a', r'] \in \mathcal{A}_X^{\mathbb{R}} \mid \max\{\text{dist}(a, a'), r'\} < r\} .$$

Comme $\max\{\text{dist}(a, a'), r'\} = \sup\{[a', r'], a\}$ et la fonction $\sup\{\cdot, \cdot\}$ est continue, l'ensemble $\mathcal{B}^-(a, r)$ est ouvert dans $\mathcal{A}_X^{\mathbb{R}}$.

Etant donné $r \geq r_0$ et $a, a' \in X$, les ensembles $\mathcal{B}^-(a, r), \mathcal{B}^-(a', r)$ sont soit égaux, soit disjoints. Comme pour tout $r > r_0$ le point \mathcal{S}_0 appartient à $\mathcal{B}^-(a_0, r)$, on conclut que $\gamma([0, 1]) \subset \mathcal{B}^-(a_0, r)$ et que

$$\gamma([0, 1]) \subset \bigcap_{r > r_0} \mathcal{B}^-(a, r) = \{\mathcal{S} \in \mathcal{A}_X^{\mathbb{R}} \mid \mathcal{S} \preccurlyeq \mathcal{S}_0\} .$$

Pour chaque $t \in [0, 1]$ on a donc $2\delta(\gamma(t), \mathcal{S}_0) = r_0 - \text{diam}(\gamma(t))$ et par conséquent on a $\gamma(t) = \mathcal{S}_0$ si et seulement si $\text{diam}(\gamma(t)) = r_0$. \square

Démonstration de la proposition. — Comme la complétion d'un arbre réel est aussi un arbre réel, il suffit de montrer que $(\mathcal{A}_X^{\mathbb{R}}, \delta)$ est un arbre réel. Pour cela, il reste à montrer que pour chaque paire de points $\mathcal{S} = [x, r], \mathcal{S}' = [x', r'] \in \mathcal{A}_X^{\mathbb{R}}$, l'ensemble $[\mathcal{S}, \mathcal{S}']$ est le seul arc topologique joignant \mathcal{S} et \mathcal{S}' . Soit $\gamma : [0, 1] \rightarrow \mathcal{A}_X^{\mathbb{R}}$ une fonction continue et injective telle que $\gamma(0) = \mathcal{S}$ et $\gamma(1) = \mathcal{S}'$.

On montrera d'abord que

$$\rho = \sup\{\text{diam}(\gamma(t)) \mid t \in [0, 1]\} \geq \sup\{\mathcal{S}, \mathcal{S}'\} .$$

En effet, le lemme précédent implique que pour chaque $t \in [0, 1]$ on a $\gamma(t) \preccurlyeq [x, \rho]$. On a donc $\mathcal{S}' \preccurlyeq [x, \rho]$ et par conséquent $\rho \geq \max\{r, r', \text{dist}(x, x')\} = \sup\{\mathcal{S}, \mathcal{S}'\}$.

Il reste à montrer que $\gamma([0, 1]) = [\mathcal{S}, \mathcal{S}']$. Comme γ est injective, il suffit de montrer que pour tout $[x_0, r_0] \in [\mathcal{S}, \mathcal{S}']$ il existe $t_0 \in [0, 1]$ tel que $\gamma(t_0) = [x_0, r_0]$. On se ramène au cas où $[x_0, r_0] \in [\mathcal{S}, \mathcal{S} \vee \mathcal{S}']$; c'est à dire qu'on peut supposer $x_0 = x$ et qu'on a $r_0 \in [r, \sup\{\mathcal{S}, \mathcal{S}'\}]$. Alors l'infimum

$$t_0 = \inf\{t \in [0, 1] \mid \text{diam}(\gamma(t)) \geq r_0\},$$

est bien défini et le lemme précédent implique qu'on a $\gamma(t_0) = [x_0, r_0]$. \square

6.9. L'ordre partiel \preccurlyeq sur \mathcal{A}_X . — On prend la propriété (5), valable sur $\mathcal{A}_X^{\mathbb{R}}$, pour étendre l'ordre partiel \preccurlyeq à \mathcal{A}_X : pour deux points \mathcal{S} et \mathcal{S}' de \mathcal{A}_X on définit $\mathcal{S} \preccurlyeq \mathcal{S}'$ si et seulement si $\mathcal{S} \vee \mathcal{S}' = \mathcal{S}'$. La transitivité de \preccurlyeq est donnée par la partie 2 du lemme suivant.

Notons que $\mathcal{S} \preccurlyeq \mathcal{S}'$ implique $\delta(\mathcal{S}, \mathcal{S}') = \frac{1}{2}(\text{diam}(\mathcal{S}') - \text{diam}(\mathcal{S}))$ et par conséquent dans ce cas on a $\text{diam}(\mathcal{S}) \leq \text{diam}(\mathcal{S}')$ avec égalité si et seulement si $\mathcal{S} = \mathcal{S}'$.

Lemme 6.5. — Soient $\mathcal{S}, \mathcal{S}' \in \mathcal{A}_X$ tels que $\mathcal{S} \preccurlyeq \mathcal{S}'$. Alors on a les propriétés suivantes.

1. Pour $\tilde{\mathcal{S}} \in \mathcal{A}_X$ tel que $\sup\{\mathcal{S}, \tilde{\mathcal{S}}\} \leq \text{diam}(\mathcal{S}')$ on a $\tilde{\mathcal{S}} \preccurlyeq \mathcal{S}'$.
2. Pour $\mathcal{S}'' \in \mathcal{A}_X$ tel que $\mathcal{S}'' \succcurlyeq \mathcal{S}'$, on a $\mathcal{S}'' \succcurlyeq \mathcal{S}$.

Démonstration. —

1. On a

$$\text{diam}(\mathcal{S}') \leq \sup\{\tilde{\mathcal{S}}, \mathcal{S}'\} \leq \max\{\sup\{\tilde{\mathcal{S}}, \mathcal{S}\}, \sup\{\mathcal{S}, \mathcal{S}'\}\} \leq \text{diam}(\mathcal{S}').$$

C'est à dire qu'on a $\delta(\mathcal{S}', \tilde{\mathcal{S}} \vee \mathcal{S}') = \sup\{\tilde{\mathcal{S}}, \mathcal{S}'\} - \text{diam}(\mathcal{S}') = 0$ et donc $\tilde{\mathcal{S}} \vee \mathcal{S}' = \mathcal{S}'$. Par conséquent on a $\tilde{\mathcal{S}} \preccurlyeq \mathcal{S}'$ par définition de \preccurlyeq .

2. Notons qu'on a

$$\sup\{\mathcal{S}, \mathcal{S}'\} = \text{diam}(\mathcal{S} \vee \mathcal{S}') = \text{diam}(\mathcal{S}') \leq \sup\{\mathcal{S}', \mathcal{S}''\} = \text{diam}(\mathcal{S}'').$$

Comme par hypothèse $\mathcal{S}'' \succcurlyeq \mathcal{S}'$, la partie 1 implique qu'on a $\mathcal{S}'' \succcurlyeq \mathcal{S}$. \square

6.10. Propriétés de l'ordre partiel \preccurlyeq . — L'objectif de cette section est de montrer la proposition suivante.

Proposition 6.6. — Pour \mathcal{S} et \mathcal{S}' dans \mathcal{A}_X quelconques on a les propriétés suivantes.

1. Le point $\mathcal{S} \vee \mathcal{S}'$ est le plus petit point de \mathcal{A}_X qui est à la fois plus grand que \mathcal{S} et que \mathcal{S}' .
2. Le segment géodésique $[\mathcal{S}, \mathcal{S}']$ de \mathcal{A}_X joignant \mathcal{S} à \mathcal{S}' est égal à l'ensemble

$$\{\tilde{\mathcal{S}} \in \mathcal{A}_X \mid \mathcal{S} \preccurlyeq \tilde{\mathcal{S}} \preccurlyeq \mathcal{S} \vee \mathcal{S}' \text{ ou } \mathcal{S}' \preccurlyeq \tilde{\mathcal{S}} \preccurlyeq \mathcal{S} \vee \mathcal{S}'\}.$$

3. Si $\mathcal{S}' \succcurlyeq \mathcal{S}$ et $\mathcal{S} \neq \mathcal{S}'$, alors $\mathcal{S}' \in \mathcal{A}_X^{\mathbb{R}}$.
4. Si les points \mathcal{S} et \mathcal{S}' sont distincts, alors on a $\mathcal{S} \vee \mathcal{S}' \in \mathcal{A}_X^{\mathbb{R}}$.

La démonstration de cette proposition s'appuie sur le lemme suivante.

Lemme 6.7. — Pour un point \mathcal{S} de \mathcal{A}_X on a les propriétés suivantes.

1. Pour chaque $r \in I$ satisfaisant $r \geq \text{diam}(\mathcal{S})$ il existe un unique point $\mathcal{S}(r)$ de \mathcal{A}_X tel que $\mathcal{S}(r) \succcurlyeq \mathcal{S}$ et $\text{diam}(\mathcal{S}(r)) = r$. Lorsque $r > \text{diam}(\mathcal{S})$ on a $\mathcal{S}(r) \in \mathcal{A}_X^{\mathbb{R}}$.

2. L'ensemble $\{\mathcal{S}(r) \in \mathcal{A}_X \mid r \in I, r \geq \text{diam}(\mathcal{S})\}$ est complètement ordonné par rapport à l'ordre partiel \preceq et la fonction $\frac{1}{2} \text{diam}$ induit une isométrie croissante entre cet ensemble et l'intervalle $\{r \in I \mid r \geq \frac{1}{2} \text{diam}(\mathcal{S})\}$ de \mathbb{R} .

Démonstration. —

1. Pour montrer l'unicité, soient \mathcal{S}' et \mathcal{S}'' des points de \mathcal{A}_X tels que $\mathcal{S}' \succcurlyeq \mathcal{S}$, $\mathcal{S}'' \succcurlyeq \mathcal{S}$ et $r := \text{diam}(\mathcal{S}') = \text{diam}(\mathcal{S}'')$. Alors

$$r \leq \sup\{\mathcal{S}', \mathcal{S}''\} \leq \max\{\sup\{\mathcal{S}', \mathcal{S}\}, \sup\{\mathcal{S}, \mathcal{S}''\}\} = r ,$$

d'où $\mathcal{S}' = \mathcal{S}' \vee \mathcal{S}'' = \mathcal{S}''$.

Montrons maintenant l'existence de $\mathcal{S}(r)$. Lorsque $r = \text{diam}(\mathcal{S})$ le point \mathcal{S} satisfait les propriétés désirées. On se ramène alors au cas $r > \text{diam}(\mathcal{S})$. Alors il existe un point $[x', r']$ de $\mathcal{A}_X^{\mathbb{R}}$ tel que $\sup\{\mathcal{S}, [x', r']\} \leq r$. On a donc $r' \leq r$ et la partie 1 du Lemme 6.5 implique qu'on a $\mathcal{S} \preceq [x', r]$. On a montré donc que le point $[x', r] \in \mathcal{A}_X^{\mathbb{R}}$ satisfait les propriétés désirées.

Il s'en suit de la preuve que lorsque $r > 0$, on a $\mathcal{S}(r) \in \mathcal{A}_X^{\mathbb{R}}$.

2. Etant donnés r, r' tels que $r' \geq r \geq \text{diam}(\mathcal{S})$, on a

$$\sup\{\mathcal{S}(r), \mathcal{S}(r')\} \leq \max\{\sup\{\mathcal{S}(r), \mathcal{S}\}, \sup\{\mathcal{S}, \mathcal{S}(r')\}\} = r' ,$$

et alors la partie 1 du Lemme 6.5 implique qu'on a $\mathcal{S}(r) \preceq \mathcal{S}(r')$. La dernière assertion de la proposition suit du fait que pour chaque paire de points $\tilde{\mathcal{S}}$ et $\tilde{\mathcal{S}}'$ de \mathcal{A}_X tels que $\tilde{\mathcal{S}} \preceq \tilde{\mathcal{S}}'$, on a $\delta(\tilde{\mathcal{S}}, \tilde{\mathcal{S}}') = \frac{1}{2}(\text{diam}(\tilde{\mathcal{S}}') - \text{diam}(\tilde{\mathcal{S}}))$. \square

Démonstration de la Proposition 6.6. —

1. Lorsque \mathcal{S} et \mathcal{S}' sont des points de $\mathcal{A}_X^{\mathbb{R}}$ il est facile de voir qu'on a $\mathcal{S} \vee (\mathcal{S} \vee \mathcal{S}') = \mathcal{S} \vee \mathcal{S}'$. Par continuité cette identité est aussi valable lorsque \mathcal{S} et \mathcal{S}' sont des points de \mathcal{A}_X . On a donc $\mathcal{S} \preceq \mathcal{S} \vee \mathcal{S}'$ et par symétrie $\mathcal{S}' \preceq \mathcal{S} \vee \mathcal{S}'$. Pour montrer que $\mathcal{S} \vee \mathcal{S}'$ est le plus petit point satisfaisant ces propriétés, par le Lemme 6.7 il suffit de montrer que si $\tilde{\mathcal{S}}$ est un point tel que $\mathcal{S} \preceq \tilde{\mathcal{S}}$ et $\mathcal{S}' \preceq \tilde{\mathcal{S}}$, alors $\text{diam}(\tilde{\mathcal{S}}) \geq \sup\{\mathcal{S}, \mathcal{S}'\}$. En effet, dans ce cas on a

$$\sup\{\mathcal{S}, \mathcal{S}'\} \leq \max\{\sup\{\mathcal{S}, \tilde{\mathcal{S}}\}, \sup\{\tilde{\mathcal{S}}, \mathcal{S}'\}\} = \text{diam}(\tilde{\mathcal{S}}) .$$

2. Le Lemme 6.7 implique que l'ensemble $\{\mathcal{S} \preceq \tilde{\mathcal{S}} \preceq \mathcal{S} \vee \mathcal{S}'\}$ (resp. $\{\mathcal{S}' \preceq \tilde{\mathcal{S}} \preceq \mathcal{S} \vee \mathcal{S}'\}$) est un arc topologique joignant \mathcal{S} et $\mathcal{S} \vee \mathcal{S}'$ (resp. \mathcal{S}' et $\mathcal{S} \vee \mathcal{S}'$). D'autre part, la partie 1 implique que l'intersection de ces arcs consiste du point $\mathcal{S} \vee \mathcal{S}'$. Leur réunion est donc le seul arc topologique dans l'arbre réel \mathcal{A}_X joignant \mathcal{S} et \mathcal{S}' .

3. Cette assertion est une conséquence immédiate de la partie 1 du Lemme 6.7.

4. On a montré dans la partie 2 qu'on a $\mathcal{S} \preceq \mathcal{S} \vee \mathcal{S}'$ et $\mathcal{S}' \preceq \mathcal{S} \vee \mathcal{S}'$. Comme les points \mathcal{S} et \mathcal{S}' sont distincts, on a, soit $\mathcal{S} \neq \mathcal{S} \vee \mathcal{S}'$, soit $\mathcal{S}' \neq \mathcal{S} \vee \mathcal{S}'$. Alors la partie 3 implique qu'on a $\mathcal{S} \vee \mathcal{S}' \in \mathcal{A}_X^{\mathbb{R}}$. \square

6.11. Boules de \mathcal{A}_X . — Etant donné $(x, r) \in X \times I$, l'ensemble

$$(7) \quad \{\mathcal{S} \in \mathcal{A}_K \mid \sup\{x, \mathcal{S}\} \leq r\}$$

ne dépend que de la classe d'équivalence de (x, r) . On notera cet ensemble par $\mathcal{B}_{[x, r]}$. Lorsque $r > 0$ on appellera cet ensemble *boule fermée* de \mathcal{A}_X et l'ensemble

$$(8) \quad \{\mathcal{S} \in \mathcal{A}_X \mid \sup\{x, \mathcal{S}\} < r\}$$

sera appelé *boule ouverte* de $\mathcal{A}_X^{\mathbb{R}}$. De plus, on dira que le point $[x, r]$ de $\mathcal{A}_X^{\mathbb{R}} \setminus X$ est le point déterminé par la boule définie par (7) ou (8). Notons que l'application $\mathcal{S} \mapsto \mathcal{B}_{\mathcal{S}}$ induit une bijection entre $\mathcal{A}_X^{\mathbb{R}} \setminus X$ et la collection des boules fermées de \mathcal{A}_X . D'autre part, notons que le point de $\mathcal{A}_K^{\mathbb{R}} \setminus X$ déterminé par une boule ouverte \mathcal{B} de \mathcal{A}_K n'appartient pas à \mathcal{B} , et qu'en général deux boules ouvertes de \mathcal{A}_X peuvent déterminer le même point de $\mathcal{A}_X^{\mathbb{R}} \setminus X$.

Comme la fonction $\sup\{\cdot, \cdot\}$ est continue sur \mathcal{A}_X (cf. § 6.7), toute boule ouverte (resp. fermée) de \mathcal{A}_X est une partie ouverte (resp. fermée) de \mathcal{A}_X . Notons d'autre part que l'intersection d'une boule de \mathcal{A}_X avec X est une boule de X , et que pour chaque $\mathcal{S} \in \mathcal{A}_X^{\mathbb{R}}$ on a $\mathcal{B}_{\mathcal{S}} \cap X = B_{\mathcal{S}}$.

Soit \mathcal{B} l'ensemble défini par (8) (resp. (7)). Alors l'inégalité (6) implique que pour tout $\mathcal{S}' \in \mathcal{B}$ on a

$$\mathcal{B} = \{\mathcal{S} \in \mathcal{A}_X \mid \sup\{\mathcal{S}, \mathcal{S}'\} < r\} \text{ (resp. } \mathcal{B} = \{\mathcal{S} \in \mathcal{A}_X \mid \sup\{\mathcal{S}, \mathcal{S}'\} \leq r\}).$$

Par conséquent, si deux boules de \mathcal{A}_X s'intersectent, alors l'une est contenue dans l'autre.

Lemme 6.8. — *Chaque boule de \mathcal{A}_X est connexe.*

Démonstration. — Soit \mathcal{B} une boule ouverte ou fermée de \mathcal{A}_X et soient \mathcal{S} et \mathcal{S}' des points dans \mathcal{B} . Il suffit de montrer que pour chaque point $\tilde{\mathcal{S}}$ dans $[\mathcal{S}, \mathcal{S}']$ on a $\sup\{\mathcal{S}, \tilde{\mathcal{S}}\} \leq \sup\{\mathcal{S}, \mathcal{S}'\}$ ou $\sup\{\mathcal{S}', \tilde{\mathcal{S}}\} \leq \sup\{\mathcal{S}, \mathcal{S}'\}$. On se ramène au cas où $\mathcal{S} \preceq \tilde{\mathcal{S}} \preceq \mathcal{S} \vee \mathcal{S}'$, cf. partie 2 de la Proposition 6.6. Dans ce cas on a $\sup\{\mathcal{S}, \tilde{\mathcal{S}}\} = \text{diam}(\tilde{\mathcal{S}}) \leq \sup\{\mathcal{S}, \mathcal{S}'\}$. \square

7. L'arbre associé à un corps ultramétrique

Soit K un corps muni d'une norme ultramétrique $|\cdot|$, pour laquelle K est complet et à groupe des valeurs non discret. Dans cette section on considère l'arbre réel \mathcal{A}_K construit dans la section précédente, lorsque l'espace ultramétrique (X, dist) est égal à K munit de la distance induite par la norme $|\cdot|$. On considère aussi l'arbre projectivisé $\mathcal{P}_K := \mathcal{A}_K \sqcup \{\infty\}$ muni de la distance chordale.

7.1. L'arbre \mathcal{A}_K . — Soient $I, \mathcal{A}_K^{\mathbb{R}}, \text{diam}, \dots$ comme dans la Section 6, lorsque l'espace ultramétrique (X, dist) est égal au corps K muni de la distance induite par la norme $|\cdot|$. Notons en particulier que I est l'intervalle $[0, +\infty)$ de \mathbb{R} . Comme par hypothèse le groupe des valeurs de K est non discret, il est facile de voir que l'application $\mathcal{S} \mapsto B_{\mathcal{S}}$ induit une bijection entre $\mathcal{A}_K^{\mathbb{R}} \setminus K$ et la collection des boules fermées et irrationnelles de K . Notons d'autre part que l'intersection d'une boule ouverte (resp. fermée) de \mathcal{A}_K avec K est une boule ouverte ou irrationnelle (resp. fermée ou irrationnelle) de K et que pour chaque boule ouverte ou irrationnelle (resp. fermée ou irrationnelle) B de K il existe une unique boule ouverte (resp. fermée) \mathcal{B} de \mathcal{A}_K telle que $\mathcal{B} \cap K = B$.

7.2. Fonction $|\cdot|$. — Pour $[x, r] \in \mathcal{A}_K^{\mathbb{R}}$ on pose $|[x, r]| := \max\{|x|, r\}$. La fonction $|\cdot| : \mathcal{A}_K^{\mathbb{R}} \rightarrow I$ ainsi définie coïncide avec la norme $|\cdot|$ sur K . L'inégalité

$$||\mathcal{S}| - |\mathcal{S}'|| \leq 2\delta(\mathcal{S}, \mathcal{S}'),$$

valable pour tout \mathcal{S} et \mathcal{S}' dans $\mathcal{A}_K^{\mathbb{R}}$, implique que la fonction $|\cdot|$ s'étend continûment à \mathcal{A}_K . On désigne aussi par $|\cdot|$ cette extension.

Notons que pour $\mathcal{S} \in \mathcal{A}_K$ on a $\text{diam}(\mathcal{S}) \leq |\mathcal{S}|$, avec égalité si et seulement si $\mathcal{S} = [0, |\mathcal{S}|]$. Notons d'autre part qu'on a $\mathcal{S} \vee 0 = [0, |\mathcal{S}|]$ et $\sup\{\mathcal{S}, 0\} = |\mathcal{S}|$. De plus, si $B = \{z \in K \mid |z| < r\}$ (resp. $B = \{z \in K \mid |z| \leq r\}$), alors la boule ouverte (resp. fermée) de $\mathcal{A}_K^{\mathbb{R}}$ correspondante est égale à

$$\{\mathcal{S} \in \mathcal{A}_K \mid |\mathcal{S}| < r\} \text{ (resp. } \{\mathcal{S} \in \mathcal{A}_K \mid |\mathcal{S}| \leq r\} \text{)} .$$

7.3. Distance chordale. — On désigne par Δ la distance sur \mathcal{A}_K qu'on obtient lorsqu'on intègre la densité $\mathcal{S} \mapsto \max\{1, |\mathcal{S}|\}^{-1}$ par rapport à la distance δ . Comme cette densité est continue, l'espace métrique (\mathcal{A}_K, Δ) est un arbre réel.

On vérifie aisément que pour $\mathcal{S}, \mathcal{S}' \in \mathcal{A}_K$ on a

$$\Delta(\mathcal{S}, \mathcal{S}') = \frac{\sup\{\mathcal{S}, \mathcal{S}'\}}{\max\{1, |\mathcal{S}|\} \cdot \max\{1, |\mathcal{S}'|\}} - \frac{1}{2} \frac{\text{diam}(\mathcal{S})}{\max\{1, |\mathcal{S}|\}^2} - \frac{1}{2} \frac{\text{diam}(\mathcal{S}')}{\max\{1, |\mathcal{S}'|\}^2}.$$

Notons en particulier que la restriction de cette distance à K coïncide avec la restriction de la distance chordale de \mathbb{P}_K^1 à K .

Notons d'autre part que pour chaque $r \geq 1$ et chaque paire de points $\mathcal{S}, \mathcal{S}'$ dans la boule $\overline{B}_r := \{\tilde{\mathcal{S}} \in \mathcal{A}_K \mid |\tilde{\mathcal{S}}| \leq r\}$, on a

$$(9) \quad r^{-2} \delta(\mathcal{S}, \mathcal{S}') \leq \Delta(\mathcal{S}, \mathcal{S}') \leq \delta(\mathcal{S}, \mathcal{S}')$$

(on s'appuie ici sur le fait que la boule \overline{B}_r de \mathcal{A}_K est connexe, cf. § 6.11). On conclut en particulier que les distances Δ et δ induisent la même topologie sur \mathcal{A}_K .

On désigne par \mathcal{P}_K la réunion disjointe de \mathcal{A}_K et d'un point qu'on désigne par ∞ . On identifie alors la partie $K \sqcup \{\infty\}$ de \mathcal{P}_K à \mathbb{P}_K^1 .

Proposition 7.1. — *La distance Δ sur \mathcal{A}_K s'étend en une distance sur $\mathcal{P}_K = \mathcal{A}_K \sqcup \{\infty\}$, encore notée Δ , pour laquelle (\mathcal{P}_K, Δ) est un arbre réel complet. De plus, la restriction de Δ à \mathbb{P}_K^1 coïncide avec la distance chordale de \mathbb{P}_K^1 .*

Démonstration. — Par (9), toute suite de Cauchy $\{\mathcal{S}_i\}_{i \geq 0}$ dans (\mathcal{A}_K, Δ) qui n'est pas convergente satisfait $|\mathcal{S}_i| \rightarrow \infty$ lorsque $i \rightarrow \infty$. Comme le diamètre de $\mathcal{A}_K \setminus \overline{B}_r$ par rapport à Δ est égal à $\max\{1, r\}^{-1}$, toutes les suites de Cauchy dans \mathcal{A}_K qui ne sont pas convergentes, sont équivalentes. On peut alors identifier la complétion de \mathcal{A}_K par rapport à Δ avec l'ensemble $\mathcal{P}_K = \mathcal{A}_K \sqcup \{\infty\}$. Il s'en suit que la distance Δ s'étend à \mathcal{P}_K et que \mathcal{P}_K est un arbre réel complet par rapport à cette distance (on s'appuie ici sur le fait que la complétion d'un arbre réel est aussi un arbre réel).

Comme la restriction de la distance Δ sur \mathcal{A}_K à K coïncide avec la distance chordale et comme \mathbb{P}_K^1 est complet par rapport à la distance chordale, on conclut que la restriction de la distance Δ sur $\mathcal{P}_K = \mathcal{A}_K \sqcup \{\infty\}$ à $\mathbb{P}_K^1 = K \sqcup \{\infty\}$ coïncide avec la distance chordale. \square

Remarque 7.2. — Il est facile de voir que l'arbre réel (\mathcal{P}_K, Δ) est isométrique à l'arbre $\mathcal{A}_{(\mathbb{P}_K^1, \Delta)}$, définie dans la Section 6 lorsque l'espace ultramétrique (X, dist) est égal à (\mathbb{P}_K^1, Δ) .

7.4. Extension des fonctions diam , $|\cdot|$, $\cdot \vee \cdot$, $\sup\{\cdot, \cdot\}$ et \preceq . — On notera par $\overline{\mathbb{R}} := \mathbb{R} \cup \{\pm\infty\}$ la droite réelle achevée. On étend les fonctions $\text{diam}, |\cdot| : \mathcal{A}_K \rightarrow \mathbb{R}$ en fonctions définies sur $\mathcal{P}_K = \mathcal{A}_K \cup \{\infty\}$ et prenant valeurs dans $\overline{\mathbb{R}}$, par

$$\text{diam}(\infty) = |\infty| = +\infty .$$

D'autre part, on étend les fonctions $\cdot \vee \cdot : \mathcal{A}_K \times \mathcal{A}_K \rightarrow \mathcal{A}_K$ et $\sup\{\cdot, \cdot\} : \mathcal{A}_K \times \mathcal{A}_K \rightarrow \mathbb{R}$ en fonctions définies sur $\mathcal{P}_K \times \mathcal{P}_K$ à valeurs dans \mathcal{P}_K et $\overline{\mathbb{R}}$, respectivement, par

$$\cdot \vee \infty = \infty \vee \cdot = \infty \quad \text{et} \quad \sup\{\cdot, \infty\} = \sup\{\infty, \cdot\} = +\infty .$$

Notons que la fonction diam est discontinue en ∞ et que la fonction $\sup\{\cdot, \cdot\}$ est discontinue en chaque point de la forme (∞, \cdot) ou (\cdot, ∞) .

Lemme 7.3. — *La fonction $|\cdot|$ est continue sur \mathcal{P}_K et la fonction $\cdot \vee \cdot$ est continue sur $\mathcal{P}_K \times \mathcal{P}_K$.*

Démonstration. — La formule $\Delta(\mathcal{S}, \infty) = \max\{1, |\mathcal{S}|\}^{-1}$, valable pour tout point \mathcal{S} dans \mathcal{A}_K , implique que la fonction $|\cdot|$ est continue en ∞ et donc sur \mathcal{P}_K . La continuité de $\cdot \vee \cdot$ est alors une conséquence de l'identité $|\mathcal{S} \vee \mathcal{S}'| = \max\{|\mathcal{S}|, |\mathcal{S}'|\}$, valable pour tout \mathcal{S} et \mathcal{S}' dans \mathcal{A}_K . \square

On étend la relation \preceq à une relation définie sur \mathcal{P}_K par $\cdot \preceq \infty$. Il est facile de voir que \preceq est une relation d'ordre partiel défini sur \mathcal{P}_K . Dans le lemme suivant on démontre que la partie 2 de la Proposition 6.6 s'étend à \mathcal{P}_K . On vérifie sans problème que les parties 1, 3 et 4 de la Proposition 6.6 sont encore valables lorsqu'on remplace \mathcal{A}_K par \mathcal{P}_K et $\mathcal{A}_K^{\mathbb{R}}$ par $\mathcal{P}_K^{\mathbb{R}} := \mathcal{A}_K^{\mathbb{R}} \cup \{\infty\}$. On conclut en particulier que pour chaque paire de points distincts $\mathcal{S}, \mathcal{S}' \in \mathcal{P}_K$ l'ensemble $(\mathcal{S}, \mathcal{S}')$ est contenu dans $\mathcal{P}_K^{\mathbb{R}}$.

Lemme 7.4. — *Pour chaque paire de points \mathcal{S} et \mathcal{S}' dans \mathcal{P}_K on a*

$$[\mathcal{S}, \mathcal{S}'] = \{\tilde{\mathcal{S}} \in \mathcal{P}_K \mid \mathcal{S} \preceq \tilde{\mathcal{S}} \preceq \mathcal{S} \vee \mathcal{S}' \quad \text{ou} \quad \mathcal{S}' \preceq \tilde{\mathcal{S}} \preceq \mathcal{S} \vee \mathcal{S}'\} .$$

En particulier on a $[\mathcal{S}, \infty] = \{\tilde{\mathcal{S}} \in \mathcal{P}_K \mid \mathcal{S} \preceq \tilde{\mathcal{S}}\}$.

Démonstration. — Le cas où \mathcal{S} et \mathcal{S}' appartiennent à \mathcal{A}_K est donné par la partie 2 de la Proposition 6.6. On se ramène alors au cas $\mathcal{S}' = \infty$. Le Lemme 6.7 implique que l'ensemble

$$\{\tilde{\mathcal{S}} \in \mathcal{P}_K \mid \mathcal{S} \preceq \tilde{\mathcal{S}}\} = \{\tilde{\mathcal{S}} \in \mathcal{A}_K \mid \mathcal{S} \preceq \tilde{\mathcal{S}}\} \cup \{\infty\}$$

est un arc topologique dans \mathcal{P}_K joignant \mathcal{S} et ∞ . Cet ensemble est donc égal à $[\mathcal{S}, \infty]$. \square

7.5. Boules de \mathcal{P}_K . — Une *boule ouverte* (resp. *fermée*) de \mathcal{P}_K est soit une boule ouverte (resp. fermée) de \mathcal{A}_K , soit le complémentaire dans \mathcal{P}_K d'une boule fermée (resp. ouverte) de \mathcal{A}_K . Toute boule ouverte (resp. fermée) de \mathcal{P}_K est une partie ouverte (resp. fermée) de \mathcal{P}_K .

Rappelons que chaque boule de \mathcal{A}_K détermine un point de $\mathcal{A}_K^{\mathbb{R}} \setminus K$ (§ 6.11). Lorsque \mathcal{B} est une boule de \mathcal{P}_K qui n'est pas une boule de \mathcal{A}_K , alors l'ensemble $\mathcal{B}' := \mathcal{P}_K \setminus \mathcal{B}$ est une boule de \mathcal{A}_K et on dit que le point de $\mathcal{A}_K^{\mathbb{R}} \setminus K$ déterminé par \mathcal{B}' est le *point déterminé par la boule \mathcal{B}* . De cette façon chaque boule de \mathcal{P}_K détermine un point de $\mathcal{A}_K^{\mathbb{R}} \setminus K$. Notons que le point de $\mathcal{A}_K^{\mathbb{R}} \setminus K$ déterminé par une boule ouverte \mathcal{B} de \mathcal{P}_K , n'appartient pas à \mathcal{B} .

Lorsque \mathcal{B} est une boule ouverte (resp. fermée) de \mathcal{P}_K , l'ensemble $\mathcal{B} \cap \mathbb{P}_K^1$ est une boule ouverte ou irrationnelle (resp. fermée ou irrationnelle) de \mathbb{P}_K^1 . Inversement, à chaque boule ouverte ou irrationnelle (resp. fermée ou irrationnelle) B de \mathbb{P}_K^1 correspond une unique boule ouverte (resp. fermée) \mathcal{B} de \mathcal{P}_K telle que $\mathcal{B} \cap \mathbb{P}_K^1 = B$.

Proposition 7.5. —

1. Chaque boule de \mathcal{P}_K est connexe.
2. Pour chaque boule \mathcal{B} de \mathcal{P}_K , l'ensemble $\mathcal{B}^{\mathbb{R}} = \mathcal{B} \cap \mathcal{P}_K^{\mathbb{R}}$ est dense dans $\mathcal{B}^{\mathbb{R}}$.
3. Soit \mathcal{B} une boule ouverte de \mathcal{P}_K et soit \mathcal{S} le point de $\mathcal{P}_K^{\mathbb{R}} \setminus K$ déterminé par \mathcal{B} . Alors pour chaque $\mathcal{S}', \mathcal{S}'' \in \mathcal{B}$ il existe $\overline{\mathcal{S}} \in \mathcal{B}$ tel que

$$[\mathcal{S}', \mathcal{S}] \cap [\mathcal{S}'', \mathcal{S}] = [\overline{\mathcal{S}}, \mathcal{S}].$$

En particulier les segments $(\mathcal{S}', \mathcal{S})$ et $(\mathcal{S}'', \mathcal{S})$ s'intersectent.

Démonstration. —

1. Soit \mathcal{B} une boule de \mathcal{A}_K . Comme on a déjà montré que les boules de \mathcal{A}_K sont connexes (cf. § 6.11), il suffit de montrer que le complémentaire de \mathcal{B} dans \mathcal{P}_K est connexe. Par § 6.4 il suffit donc de montrer que pour tout point \mathcal{S} dans $\mathcal{P}_K \setminus \mathcal{B}$ et tout point \mathcal{S}' de \mathcal{P}_K tel que $\mathcal{S} \preceq \mathcal{S}'$, on a $\mathcal{S}' \in \mathcal{P}_K \setminus \mathcal{B}$. Pour montrer cette dernière assertion, soit \mathcal{S}_0 un point dans \mathcal{B} . Lorsque $\text{diam}(\mathcal{S}') \geq \sup\{\mathcal{S}_0, \mathcal{S}\}$ on a $\sup\{\mathcal{S}_0, \mathcal{S}'\} \geq \sup\{\mathcal{S}_0, \mathcal{S}\}$ et lorsque $\text{diam}(\mathcal{S}') \leq \sup\{\mathcal{S}_0, \mathcal{S}\}$ on a

$$\sup\{\mathcal{S}_0, \mathcal{S}\} \leq \max\{\sup\{\mathcal{S}_0, \mathcal{S}'\}, \sup\{\mathcal{S}', \mathcal{S}\}\} = \sup\{\mathcal{S}_0, \mathcal{S}'\}.$$

Dans tous les cas on a donc $\sup\{\mathcal{S}_0, \mathcal{S}'\} \geq \sup\{\mathcal{S}_0, \mathcal{S}\}$ et par conséquent $\mathcal{S} \notin \mathcal{B}$ implique $\mathcal{S}' \notin \mathcal{B}$. Ceci termine la preuve de la partie 1.

2. Soit $\mathcal{S} \in \mathcal{B}$ quelconque et choisissons $\mathcal{S}' \in \mathcal{B}$ distinct de \mathcal{S} . Comme \mathcal{B} est connexe, on a $[\mathcal{S}, \mathcal{S}'] \subset \mathcal{B}$ et comme $(\mathcal{S}, \mathcal{S}') \subset \mathcal{P}_K^{\mathbb{R}}$, on conclut que $(\mathcal{S}, \mathcal{S}') \subset \mathcal{B}^{\mathbb{R}}$ (§ 7.4). Par conséquent \mathcal{S} est contenu dans la fermeture topologique de $(\mathcal{S}, \mathcal{S}') \subset \mathcal{B}^{\mathbb{R}}$. Comme \mathcal{S} est un point arbitraire de \mathcal{B} , on conclut que $\mathcal{B}^{\mathbb{R}}$ est dense dans \mathcal{B} .

3. Comme \mathcal{P}_K est un arbre réel l'intersection $[\mathcal{S}, \mathcal{S}'] \cap [\mathcal{S}', \mathcal{S}''] \cap [\mathcal{S}'', \mathcal{S}]$ est réduite à un unique point qu'on note par $\overline{\mathcal{S}}$. L'assertion désirée est alors une conséquence immédiate du fait que $\overline{\mathcal{S}} \in [\mathcal{S}', \mathcal{S}''] \subset \mathcal{B}$ et du fait que $\mathcal{S} \notin \mathcal{B}$. \square

8. Topologie fine de \mathbb{P}_K^1

Rappelons que l'application $\mathcal{S} \mapsto B_{\mathcal{S}}$ induit une bijection entre $\mathcal{A}_K^{\mathbb{R}} \setminus K$ et la collection des boules fermées et irrationnelles de K , voir § 6.1.

Théorème 1. — Soit $\iota : \mathcal{A}_K^{\mathbb{R}} \setminus K \rightarrow \mathbb{P}_K^1$ l'application dont l'image d'un point \mathcal{S} est égale à l'unique filtre de Cauchy minimal \mathfrak{F} dans \mathbb{P}_K^1 satisfaisant $B_{\mathfrak{F}} = B_{\mathcal{S}}$. Alors on a les propriétés suivantes.

1. L'application ι s'étend à une bijection uniformément continue de (\mathcal{P}_K, Δ) à l'espace uniforme \mathbb{P}_K^1 ; on note cette extension encore par ι .
2. Pour chaque boule ouverte ou irrationnelle (resp. fermée ou irrationnelle) B de \mathbb{P}_K^1 , l'image par ι de la boule ouverte (resp. fermée) de \mathcal{P}_K correspondante à B est égale à la boule ouverte (resp. fermée) de \mathbb{P}_K^1 correspondante à B .

On repousse la démonstration de ce théorème au paragraphe § 8.1. On identifie \mathcal{P}_K et \mathbb{P}_K^1 par la bijection ι donnée par le théorème. De la même façon comme on a fait pour \mathcal{P}_K , on utilisera la notation usuelle d'intervalles pour désigner les arcs dans \mathbb{P}_K^1 . On appellera *topologie faible* la topologie originale de \mathbb{P}_K^1 et on appellera *topologie fine* la topologie sur \mathbb{P}_K^1 induite par celle de \mathcal{P}_K .

Corollaire 8.1. — Toute boule de \mathbb{P}_K^1 est connexe par rapport à la topologie faible et par rapport à la topologie fine. La frontière par rapport à la topologie fine (resp. faible) d'une boule de \mathbb{P}_K^1 , est égale au point de \mathbb{P}_K^1 déterminé par cette boule.

Démonstration. — Comme les boules de \mathcal{P}_K sont connexes (Proposition 7.5), le théorème précédent implique que les boules de \mathbb{P}_K^1 sont connexes. En vue du Lemme 5.4, la deuxième assertion est une conséquence immédiate du théorème. \square

Corollaire 8.2. — Pour un point \mathcal{S} de \mathbb{P}_K^1 on a les propriétés suivantes.

1. Lorsque \mathcal{S} est rationnel ou irrationnel, les composantes connexes de $\mathbb{P}_K^1 \setminus \{\mathcal{S}\}$ sont les boules ouvertes de la forme \widehat{B} , avec $B \in \pi(\mathcal{S})$.
2. Lorsque \mathcal{S} est singulier ou appartient à \mathbb{P}_K^1 , l'ensemble $\mathbb{P}_K^1 \setminus \{\mathcal{S}\}$ est connexe.

Démonstration. —

1. Par la Proposition 5.3 la collection $\{\widehat{B} \mid B \in \pi(\mathcal{S})\}$ forme une partition de $\mathbb{P}_K^1 \setminus \{\mathcal{S}\}$. Comme pour chaque $B \in \pi(\mathcal{S})$ l'ensemble \widehat{B} est ouvert et connexe,

on conclut que cette partition est la partition de $\mathbb{P}_K^1 \setminus \{\mathcal{S}\}$ en composantes connexes.

2. Lorsque \mathcal{S} est un point de \mathbb{P}_K^1 ou un point singulier, on peut trouver une suite décroissante de boules ouvertes $\{B_n\}_{n \geq 0}$ de \mathbb{P}_K^1 , telle que $\bigcap_{n \geq 0} \widehat{B}_n = \{\mathcal{S}\}$ (cf. Proposition 4.2). Alors pour chaque entier $n \geq 0$, l'ensemble $\overline{D}_n = \mathbb{P}_K^1 \setminus \widehat{B}_n$ est une boule fermée de \mathbb{P}_K^1 et $\{\overline{D}_n\}_{n \geq 0}$ est une suite d'ensembles connexes tel qu'on a $\mathbb{P}_K^1 \setminus \{\mathcal{S}\} = \bigcup_{n \geq 0} \overline{D}_n$. On conclut que $\mathbb{P}_K^1 \setminus \{\mathcal{S}\}$ est connexe. \square

Corollaire 8.3. — *La topologie faible et la topologie fine induisent la même topologie sur chaque segment géodésique de \mathbb{P}_K^1 . Par conséquent, pour une partie V de \mathbb{P}_K^1 les propriétés suivantes sont équivalentes.*

1. V est convexe.
2. V est connexe par rapport à la topologie fine.
3. V est connexe par rapport à la topologie faible.

En particulier toute partie connexe de \mathbb{P}_K^1 est connexe par arcs et toute intersection de parties connexes de \mathbb{P}_K^1 est connexe.

Démonstration. — Soit ℓ un segment géodésique de \mathbb{P}_K^1 . Avec la topologie fine, ℓ est homéomorphe à un intervalle de \mathbb{R} (cf. § 7.3). Il suffit alors de montrer que pour tout point \mathcal{S} de ℓ qui n'est pas une extrémité de ℓ , chacune des composantes connexes de $\ell \setminus \{\mathcal{S}\}$ par rapport à la topologie fine est un ouvert dans ℓ par rapport à la topologie faible.

Soit alors $\mathcal{S} \in \ell$ un point qui ne soit pas une extrémité de ℓ . Alors $\ell \setminus \{\mathcal{S}\}$ possède 2 composantes connexes, qu'on désigne par ℓ' et ℓ'' . Comme \mathcal{S} n'est pas une extrémité de ℓ , il s'en suit que \mathcal{S} est un point rationnel ou irrationnel de \mathbb{P}_K^1 (voir § 7.4). Le Corollaire 8.2 implique alors qu'il existe une boule B' (resp. B'') $\in \pi(\mathcal{S})$ telle que $\ell' \subset \widehat{B}'$ (resp. $\ell'' \subset \widehat{B}''$). La partie 3 de la Proposition 7.5 implique alors que $B' \neq B''$. On conclut donc que $\ell' = \ell \cap \widehat{B}'$ et que $\ell'' = \ell \cap \widehat{B}''$. Comme chacune \widehat{B}' et \widehat{B}'' sont des parties ouvertes de \mathbb{P}_K^1 par rapport à la topologie fine, on obtient l'assertion désirée. \square

8.1. Démonstration du Théorème 1. — Soit $\iota : \mathcal{A}_K^{\mathbb{R}} \setminus K \rightarrow \mathbb{P}_K^1$ comme dans l'énoncé du Théorème 1. On étend ι à $\mathcal{P}_K^{\mathbb{R}} = \mathcal{A}_K^{\mathbb{R}} \cup \{\infty\}$ par $\iota(\infty) = \infty$, de telle façon que ι induise l'identité sur \mathbb{P}_K^1 .

La démonstration du Théorème 1 s'appuie sur le lemme suivant. Rappelons que si B est une boule fermée ou irrationnelle (resp. ouverte ou irrationnelle) de \mathbb{P}_K^1 , alors \overline{B} (resp. \widehat{B}) est une boule fermée (resp. ouverte) de \mathbb{P}_K^1 , voir § 5.1. De plus, rappelons que pour une boule \mathcal{B} de \mathcal{P}_K on pose $\mathcal{B}^{\mathbb{R}} = \mathcal{B} \cap \mathcal{P}_K^{\mathbb{R}}$.

Lemme 8.4. — Soit \mathcal{B} une boule ouverte (resp. fermée) de \mathcal{P}_K et soit $B = \mathcal{B} \cap \mathbb{P}_K^1$ la boule de \mathbb{P}_K^1 correspondante. Alors on a

$$\iota^{-1}(\widehat{B}) = \mathcal{B}^{\mathbb{R}} \text{ (resp. } \iota^{-1}(\overline{B}) = \mathcal{B}^{\mathbb{R}} \text{)} .$$

Démonstration. — On se ramène au cas où \mathcal{B} ne contient pas ∞ . Alors B est une boule de K .

Supposons d'abord que la boule \mathcal{B} est ouverte. Soient $a_0 \in K$ et $r_0 > 0$ tels que $B = \{|z - a_0| < r_0\}$. Il est facile de voir que pour $[a, r] \in \mathcal{A}_K^{\mathbb{R}}$ on a

$$\sup\{[a, r], a_0\} = \max\{|a - a_0|, r_0\} < r$$

si et seulement si $B_{[a,r]} = \{z \in K \mid |z - a| \leq r\} \subset B$. Cette dernière propriété est équivalente à ce que B appartient au filtre de Cauchy minimal $\iota([z, r])$ i.e. $\iota([z, r]) \in \widehat{B}$. On a donc $\iota^{-1}(\widehat{B}) = \mathcal{B} \cap \mathcal{P}_K^{\mathbb{R}}$.

Supposons maintenant que la boule \mathcal{B} est fermée. Soient $a_0 \in K$ et $r_0 > 0$ tels que $B = \{|z - a_0| \leq r_0\}$. Alors il est facile de voir que pour $[a, r] \in \mathcal{A}_K^{\mathbb{R}}$ on a

$$\sup\{[z, r], a_0\} = \max\{|a - a_0|, r_0\} \leq r$$

si et seulement si $B_{[a,r]} \subset B$. Cette dernière propriété est équivalente à ce que B rencontre tout élément de $\iota([z, r])$ i.e. $\iota([z, r]) \in \overline{B}$. On a donc $\iota^{-1}(\overline{B}) = \mathcal{B} \cap \mathcal{P}_K^{\mathbb{R}}$. \square

Démonstration du Théorème 1. — Comme les affinoïdes ouverts forment une base pour la topologie de \mathbb{P}_K^1 (§ 5.1), le Lemme 8.4 implique que l'application $\iota : \mathcal{P}_K^{\mathbb{R}} \rightarrow \mathbb{P}_K^1$ est continue.

1.1. ι est uniformément continue. Pour montrer que l'application $\iota : \mathcal{P}_K^{\mathbb{R}} \rightarrow \mathbb{P}_K^1$ est uniformément continue il suffit de montrer que pour chaque recouvrement $C \in \mathfrak{C}$ il existe $\varepsilon > 0$ tel qu'on ait la propriété suivante. Pour toute paire de points $\mathcal{S}, \mathcal{S}' \in \mathcal{P}_K^{\mathbb{R}}$ tel que $\Delta(\mathcal{S}, \mathcal{S}') < \varepsilon$, il existe $Y \in C$ tel qu'on ait $\mathcal{S}, \mathcal{S}' \in \widehat{Y}$.

Notons que la partie $\partial C = \bigcup_{Y \in C} \partial \widehat{Y}$ de \mathbb{P}_K^1 est un ensemble fini de points rationnels (cf. Lemme 5.6). Etant donné $\mathfrak{F} \in \partial C$ soit $Y_{\mathfrak{F}} \in C$ tel que $\mathfrak{F} \in \widehat{Y}_{\mathfrak{F}}$. Comme l'application ι est continue, il existe $\varepsilon(\mathfrak{F}) > 0$ tel que l'image par ι de l'ensemble

$$\{\mathcal{S}' \in \mathcal{P}_K^{\mathbb{R}} \mid \Delta(\iota^{-1}(\mathfrak{F}), \mathcal{S}') \leq \varepsilon(\mathfrak{F})\}$$

soit contenue dans $\widehat{Y}_{\mathfrak{F}}$. On pose $\varepsilon = \min_{\mathfrak{F} \in \partial C} \varepsilon(\mathfrak{F})$.

Soient $\mathcal{S}, \mathcal{S}' \in \mathcal{P}_K^{\mathbb{R}}$ tels que $\Delta(\mathcal{S}, \mathcal{S}') < \varepsilon$ et soit $Y \in C$ tel que $\iota(\mathcal{S}) \in \widehat{Y}$. On se ramène au cas où $\iota(\mathcal{S}') \notin \widehat{Y}$. Comme l'ensemble $[\mathcal{S}, \mathcal{S}'] \subset \mathcal{P}_K^{\mathbb{R}}$ est connexe, on conclut qu'il existe un point $\mathcal{S}_0 \in [\mathcal{S}, \mathcal{S}']$ tel que $\iota(\mathcal{S}_0)$ appartient à $\partial \widehat{Y}$; on pose $\mathfrak{F} = \iota(\mathcal{S}_0)$. Comme $\Delta(\mathcal{S}_0, \mathcal{S}), \Delta(\mathcal{S}_0, \mathcal{S}') \leq \varepsilon \leq \varepsilon(\mathfrak{F})$, on conclut

que $\iota(\mathcal{S}), \iota(\mathcal{S}') \in \widehat{Y}_{\mathfrak{F}}$. Ceci termine la démonstration que l'application ι est uniformément continue.

1.2. ι s'étend à une bijection uniformément continue de \mathcal{P}_K à \mathbb{P}_K^1 . Comme $\iota : \mathcal{P}_K^{\mathbb{R}} \rightarrow \mathbb{P}_K^1$ est uniformément continue, elle s'étend à une fonction uniformément continue de \mathcal{P}_K à \mathbb{P}_K^1 , voir [Bou, II, § 3, Proposition 15]. On notera cette extension aussi par ι . Il reste à montrer que ι est une bijection.

Pour montrer que ι est surjective, soit \mathfrak{F} un point singulier de \mathbb{P}_K^1 . Pour chaque $r > \text{diam}(B_{\mathfrak{F}})$, soit B_r la boule fermée ou irrationnelle de K de diamètre r appartenant à \mathfrak{F} , et soit \mathfrak{F}_r (resp. \mathcal{S}_r) le point de \mathbb{P}_K^1 (resp. $\mathcal{A}_K^{\mathbb{R}}$) correspondant. Il est facile de voir que \mathfrak{F}_r converge vers \mathfrak{F} lorsque $r \rightarrow \text{diam}(\mathfrak{F})$. D'autre part, notons que la collection $\{B_r\}_{r > \text{diam}(B_{\mathfrak{F}})}$ est complètement ordonnée par rapport à l'inclusion (Proposition 4.2) et que l'application $\rho \mapsto \mathcal{S}_{2\rho}$ est une isométrie croissante entre $\{\rho \in \mathbb{R} \mid \rho > \frac{1}{2} \text{diam}(B_{\mathfrak{F}})\}$ et son image dans $\mathcal{A}_K^{\mathbb{R}}$. Par conséquent \mathcal{S}_r converge vers un point \mathcal{S} de \mathcal{A}_K lorsque $r \rightarrow \text{diam}(B_{\mathfrak{F}})$. Par continuité de ι on a $\iota(\mathcal{S}) = \mathfrak{F}$.

Pour montrer que ι est injective, soient $\mathcal{S}, \mathcal{S}' \in \mathcal{P}_K$ distincts. Pour chaque $r \in [\text{diam}(\mathcal{S}), +\infty]$ (resp. $r \in [\text{diam}(\mathcal{S}'), +\infty]$) soit \mathcal{S}_r (resp. \mathcal{S}'_r) le point de \mathcal{P}_K tel que $\mathcal{S}_r \succ \mathcal{S}$ (resp. $\mathcal{S}'_r \succ \mathcal{S}'$) et $\text{diam}(\mathcal{S}_r) = r$. Alors pour $r \neq \text{diam}(\mathcal{S})$ (resp. $r \neq \text{diam}(\mathcal{S}')$) on a $\mathcal{S}_r \in \mathcal{P}_K^{\mathbb{R}}$ (resp. $\mathcal{S}'_r \in \mathcal{P}_K^{\mathbb{R}}$), voir Lemme 6.7.

Supposons d'abord \mathcal{S} et \mathcal{S}' ne sont pas reliés par \preceq , de telle façon que $\mathcal{S} \vee \mathcal{S}'$ soit distinct de \mathcal{S} et de \mathcal{S}' . Si l'on pose $\rho = \sup\{\mathcal{S}, \mathcal{S}'\}$, alors on a $\rho > \max\{\text{diam}(\mathcal{S}), \text{diam}(\mathcal{S}')\}$ et $\mathcal{S}_\rho = \mathcal{S}'_\rho = \mathcal{S} \vee \mathcal{S}'$. Fixons $r_0 \in (\max\{\text{diam}(\mathcal{S}), \text{diam}(\mathcal{S}')\}, \sup\{\mathcal{S}, \mathcal{S}'\})$ et posons

$$\mathcal{B} = \{\tilde{\mathcal{S}} \in \mathcal{P}_K \mid \sup\{\tilde{\mathcal{S}}, \mathcal{S}\} \leq r_0\}, B = \mathcal{B} \cap \mathbb{P}_K^1,$$

$$\mathcal{B}' = \{\tilde{\mathcal{S}} \in \mathcal{P}_K \mid \sup\{\tilde{\mathcal{S}}, \mathcal{S}'\} \leq r_0\} \text{ et } B' = \mathcal{B}' \cap \mathbb{P}_K^1.$$

Notons que les sous-ensembles \overline{B} et \overline{B}' de \mathbb{P}_K^1 sont disjoints. D'autre part, pour tout $r \in (\text{diam}(\mathcal{S}), r_0]$ (resp. $r \in (\text{diam}(\mathcal{S}'), r_0]$) on a $\mathcal{S}_r \in \mathcal{B} \cap \mathcal{P}_K^{\mathbb{R}}$ (resp. $\mathcal{S}'_r \in \mathcal{B}' \cap \mathcal{P}_K^{\mathbb{R}}$) et par conséquent on a $\iota(\mathcal{S}_r) \in \overline{B}$ (resp. $\iota(\mathcal{S}'_r) \in \overline{B}'$) (Lemme 8.4). Par continuité de ι on a alors $\iota(\mathcal{S}) \in \overline{B}$ et $\iota(\mathcal{S}') \in \overline{B}'$, d'où $\iota(\mathcal{S}) \neq \iota(\mathcal{S}')$.

Supposons maintenant que \mathcal{S} et \mathcal{S}' sont reliés par \preceq . On se ramène au cas où $\mathcal{S} \preceq \mathcal{S}'$. On a alors $\text{diam}(\mathcal{S}) < \text{diam}(\mathcal{S}')$ et $\mathcal{S}' = \mathcal{S}_{\text{diam}(\mathcal{S}')}$. De plus le Lemme 6.7 implique que $\mathcal{S}' \in \mathcal{P}_K^{\mathbb{R}}$. Fixons $r_0 \in (\text{diam}(\mathcal{S}), \text{diam}(\mathcal{S}'))$ et posons

$$\mathcal{B} = \{\tilde{\mathcal{S}} \in \mathcal{P}_K \mid \sup\{\tilde{\mathcal{S}}, \mathcal{S}\} \leq r_0\} \text{ et } B = \mathcal{B} \cap \mathbb{P}_K^1.$$

Comme pour tout $r \in (\text{diam}(\mathcal{S}), r_0]$ on a $\mathcal{S}_r \in \mathcal{B} \cap \mathcal{P}_K^{\mathbb{R}}$, le Lemme 8.4 implique qu'on a $\iota(\mathcal{S}_r) \in \overline{B}$. Par continuité de ι on a $\iota(\mathcal{S}) \in \overline{B}$. D'autre part, comme

$\mathcal{S}' \notin \mathcal{B}$ le Lemme 8.4 implique qu'on a $\iota(\mathcal{S}') \notin \overline{\mathcal{B}}$. On a donc $\iota(\mathcal{S}) \neq \iota(\mathcal{S}')$. Ceci termine la démonstration du fait que ι est une bijection.

2. Etant donnée une boule \mathcal{B} de \mathcal{P}_K , soit $B = \mathcal{B} \cap \mathbb{P}_K^1$, $\mathcal{B}' = \mathcal{P}_K \setminus \mathcal{B}$ et $B' = \mathcal{B}' \cap \mathbb{P}_K^1$. Comme l'ensemble $\mathcal{B}^{\mathbb{R}}$ est dense dans \mathcal{B} (partie 2 de la Proposition 7.5), le Lemme 8.4 et la continuité de ι impliquent que $\iota(\mathcal{B})$ est contenu dans \overline{B} . Par le même raisonnement on a $\iota(\mathcal{B}') \subset \overline{B'}$. Quitte à remplacer \mathcal{B} par \mathcal{B}' , on se ramène au cas où la boule \mathcal{B} de \mathcal{P}_K est ouverte. Soit \mathfrak{F} le point de \mathbb{P}_K^1 déterminé par B . On a alors $\mathfrak{F} \notin \widehat{B}$ et $\overline{B} = \widehat{B} \cup \{\mathfrak{F}\}$ (Lemme 5.4). Comme l'application ι est une bijection le Lemme 8.4 implique qu'on a $\iota^{-1}(\mathfrak{F}) \notin \mathcal{B}$, d'où on conclut que $\iota(\mathcal{B}) \subset \widehat{B}$. Comme les ensembles \mathcal{B} et \mathcal{B}' sont complémentaires dans \mathcal{P}_K et les ensembles \widehat{B} et $\overline{B'}$ sont complémentaires dans \mathbb{P}_K^1 , on conclut que $\iota(\mathcal{B}) = \widehat{B}$ et $\iota(\mathcal{B}') = \overline{B'}$. \square

Références

- [BR1] M. Baker, R. Rumely. *Analysis and dynamics on the Berkovich projective line*. arxiv.org/math.NT/0407433
- [BR2] M. Baker, R. Rumely. *Equidistribution of small points, rational dynamics, and potential theory*. arxiv.org/math.NT/0407426
- [Ben1] R. Benedetto. *Non-Archimedean holomorphic maps and the Ahlfors Islands theorem*. Amer. J. Math. **125** (2003), 581-622.
- [Ben2] R. Benedetto. *An Ahlfors Islands Theorem for non-archimedean meromorphic functions*. arxiv.org/math.NT/0407142
- [Ber1] V.G. Berkovich. *Spectral theory and analytic geometry over non-Archimedean fields*. Mathematical Surveys and Monographs **33**, Amer. Math. Soc., Providence, RI, 1990.
- [Ber2] V.G. Berkovich. *Étale cohomology for non-Archimedean analytic spaces*. Inst. Hautes Études Sci. Publ. Math. **78** (1993), 5-161 (1994).
- [Ber3] V.G. Berkovich. *p-adic analytic spaces*. Proceedings of the International Congress of Mathematicians, Vol. II (Berlin, 1998). Doc. Math. 1998, Extra Vol. II, 141-151
- [Bez] J.P. Bézivin. *Dynamique des fractions rationnelles p-adiques*. www.math.unicaen.fr/~bezivin/dealatex.pdf
- [Bou] N. Bourbaki. *Éléments de mathématique. Topologie générale*. Hermann, Paris, 1971.
- [BHM] K. Boussaf, M. Hemdaoui, N. Mainetti. *Tree structure on the set of multiplicative semi-norms of Kranser algebras $H(D)$* . Rev. Mat. Complut. **13** (2000), 85-109.
- [CL] A. Chambert-Loir. *Mesures et équidistribution sur les espaces de Berkovich*. arxiv.org/math.NT/0304023
- [C] W. Cherry. *Non-Archimedean analytic curves in abelian varieties*. Math. Ann. **300** (1994), 393-404.
- [CR] W. Cherry, M. Ru. *Rigid analytic Picard theorems*. Amer. J. Math. **126** (2004), 873-889.
- [D] A. Ducros. *Espaces analytiques p-adiques au sens de Berkovich*. Exposé 958 du séminaire Bourbaki (mars 2006).
- [Es1] A. Escassut. *The ultrametric spectral theory*. Period. Math. Hungar. **11** (1980), 7-60.
- [Es2] A. Escassut. *Analytic elements in p-adic analysis*. World Scientific Publishing, 1995.
- [Es3] A. Escassut. *Ultrametric Banach algebras*. World Scientific Publishing Co., Inc., River Edge, NJ, 2003.
- [FJ] C. Favre, M. Jonsson. *The valuative tree*. Lecture Notes in Mathematics, 1853. Springer-Verlag, Berlin, 2004.
- [FR1] C. Favre, J. Rivera-Letelier. *Théorème d'équidistribution de Brolin en dynamique p-adique*. C. R. Math. Acad. Sci. Paris **339** (2004), 271-276.

- [FR2] C. Favre, J. Rivera-Letelier. *Equidistribution des points de petite hauteur*. Math. Ann. **335** (2006), 311-361.
- [FvdP] J. Fresnel, M. van der Put. *Rigid analytic geometry and its applications*. Progress in Mathematics, 218. Birkhäuser Boston, Inc., Boston, MA, 2004.
- [Ga] G. Garandel. *Les semi-normes multiplicatives sur les algèbres d'éléments analytiques au sens de Krasner*. Indag. Math. **37** (1975), 327-341.
- [Gu] B. Guennebaud. *Sur une notion de spectre pour les algèbres normées ultramétriques*. Thèse de doctorat, Université de Poitiers, 1973.
- [Hs] L.C. Hsia. *Closure of periodic points over a non-Archimedean field*. J. London Math. Soc. **62** (2000), 685-700.
- [Hub] R. Huber. *Étale cohomology of rigid analytic varieties and adic spaces*. Aspects of Mathematics, E30. Friedr. Vieweg & Sohn, Braunschweig, 1996.
- [Hug] B. Hughes. *Trees and ultrametric spaces : a categorical equivalence*. Advances in Mathematics **189** (2004), 148191.
- [L-S] B. Le Stum. *Espaces de Berkovich (d'après Tate, van der Put, Berkovich, Schneider et Deligne)*. perso.univ-rennes1.fr/bernard.le-stum/Documents/berkovich.pdf
- [Le] A.J. Lemin. *The category of ultrametric spaces is isomorphic to the category of complete, atomic, tree-like, and real graduated lattices LAT^** . Algebra Universalis **50** (2003), 35-49.
- [M1] N. Mainetti. *Sequential compactness of some analytic spaces*. J. Anal. **8** (2000), 39-54.
- [M2] N. Mainetti. *Metrizability of some analytic affine spaces*. *p*-adic functional analysis (Ioannina, 2000), 219–225, Lecture Notes in Pure and Appl. Math., 222, Dekker, New York, 2001.
- [vdP] M. van der Put. *Cohomology on affinoid spaces*. Compositio Math. **45** (1982), 165-198.
- [PS] M. van der Put, P. Schneider. *Points and topologies in rigid geometry*. Math. Ann. **302** (1995), 81-103.
- [R-L1] J. Rivera-Letelier. *Dynamique des fonctions rationnelles sur des corps locaux*. Geometric methods in dynamics. II. Astérisque **287** (2003), 147-230.
- [R-L2] J. Rivera-Letelier. *Espace hyperbolique *p*-adique et dynamique des fonctions rationnelles*. Compositio Math. **138** (2003), 199-231.
- [R-L3] J. Rivera-Letelier. *Points périodiques des fonctions rationnelles dans l'espace hyperbolique *p*-adique*. Comment. Math. Helv. **80** (2005), 593-629.
- [R-L4] J. Rivera-Letelier. *Une caractérisation des fonctions holomorphes injectives en analyse ultramétrique*. C. R. Math. Acad. Sci. Paris **335** (2002), 441-446.
- [R-L5] J. Rivera-Letelier. *Bi-analytic elements and partial isometries of hyperbolic space*. Ultrametric functional analysis (Nijmegen, 2002), 319-343, Contemp. Math., 319, Amer. Math. Soc., Providence, RI, 2003.
- [R-L6] J. Rivera-Letelier. *Théorie de Julia et Fatou sur la droite projective de Berkovich*. En préparation.
- [Ta] J. Tate. *Rigid analytic spaces*. Invent. Math. **12** (1971), 257-289.

- [Th] A. Thuillier *Théorie du potentiel sur les courbes en géométrie analytique non archimédienne*. Thèse de l'université de Rennes, 2005.
- [W] A. Werner. *Compactification of the Bruhat-Tits building of PGL by seminorms*. Math. Z. **248** (2004), 511-526.

J. RIVERA-LETELIER, Departamento de Matemáticas, Universidad Católica del Norte,
Casilla 1280, Antofagasta, Chile • *E-mail* : `rivera-letelier@ucn.cl`